

DAFTAR PUSTAKA

- Adelina, R., 2014. Ekstrak daun *Annona muricata Linn* sebagai antiproliferasi terhadap sel hepar tikus terinduksi 7,13 Dimetilbenz [a] antracene (DMBA). *Kefarmasian Indonesia*. 4(1); 1–12.
- Afifah, YM., 2015. *Potensi Antioksidan Dan Antifungi Ekstrak Etanol Kombinasi Acorus calamus(L.), Curcuma mangga VAL, dan Allium sativum(LINN.) Secara In Vitro*. Skripsi Jurusan Biologi. Universitas Islam Negeri Maulana Malik Ibrahim. Malang. Hal 34-35.
- Akbar, A., Soekamto, N.H., Firdaus., dan Bahrun. 2020. Antioxidant of n-hexane, ethyl acetate and methanol extract of *Padina sp* with DPPH method. *Earth and Environmental Sciences* 800. 1-6.
- Alam, S., Deepti, K., Richa, G., Amita, V., dan Ashu, M. 2013. Role of Herbals in Cancer Management. *The Journal of Phytopharmacology*. 2(6); 46–51.
- Annabi, B., Bouzeghrane, M., Currie, J.C., Hawkins, R., Dulude, H., Daigneault, L., Ruiz, M., Wisniewski, J., Garde, S., Rabanni, S.A., Panchal, C., Wu, J.J., and Beliveau, R. 2005. APSP94-Derived Peptide PCK3145 Inhibits MMP-9 Secretion and Triggers CD44 cell Surface Shedding: Implication In Tumor Metastasis. *Clinical and Experimental Metastasis*. 22(8); 429-43.
- Aranganathan S., Selvam, J.P, Nalini N. 2008. Pengaruh hesperetin, a Jeruk flavonoid, pada enzim bakteri dan fokus crypt menyimpang yang diinduksi karsinogen pada tikus kanker usus besar: Sebuah studi tergantung dosis. *J Pharm Pharmacol.* 2(6); 85-92.
- Asda., Nur Wardani. 2009. *Efek bawang putih (Allium sativun) dan cabe jawa (Piper retrofractum Vahl) terhadap jumlah limfosit pada tikus yang diberi suplemen kuning telur*. Laporan Akhir Karya Tulis Ilmiah. Semarang; Universitas Diponegoro.
- Azhar., Tauhid, N. 2008. *Dasar-dasar Biologi Molekuler*. Bandung: Penerbit Widya Padjajaran. Hal.90.
- Badejo, A. A., Damilare, A., and Ojuade, T. D. 2014. Processing effects on the antioxidant activities of beverage blends developed from *Cyperus esculentus*, *Hibiscus sabdariffa*, and *Moringa oleifera* extracts. *Preventive Nutrition and Food Science*, 19(3); 734-756.
- Balboa, E. M., Conde, E., Moure, A., Falqué, E dan Domínguez, H., 2013. In vitro antioxidant properties of crude extracts and compounds from brown algae. *Food Chemistry*. 1(3); 1764–1785.

- Berhow, M.A., Bennett, R.D., Poling, S.M., Vannier, S., dkk. 1994. Flavonoid terasilasi dalam kultur kalus Jeruk aurantifolia. *Fitokimia*. 36; 1225-7.
- Blunt, J., Buckingham, J., dan Munro, M. 2012. Taxonomy and Marine Natural Products Research. In Fattorusso, E., Gerwick, W.H., and Scafati, O.T (eds.). *Handbook of marine natural products*. Springer, Dordrecht.
- Boekoesoe dan Jusuf., 2015. *Pembuatan Larvasida Dari Daun Jeruk Nipis (Citrus aurantifolia) Sebagai Pengganti Bubuk Abate*. Laporan akhir KKS Pengabdian Lembaga Pengabdian Masyarakat. Universitas Negeri Gorontalo. 10.1377.
- Caristi C., Bellocchio E., Panzera B., Toscano G., Vadalà R., and Leuzzi U. 2003. Deteksi flavonoid oleh HPLC-DAD-MS-MS dalam jus lemon dari kultivar Sisilia. *J Agric Food Chem*. 5(1); 28-34.
- Chia, Y.Y., Kanthimathi, M.S., Jayakumar., R dkk. 2015. Antioxidant, antiproliferative, genotoxic and cytoprotective effects of the methanolic extract of *Padina tetrastromatica* on human breast adenocarcinoma and embryonic fibroblast cell lines. *Frontiers in Life Science*. 8(4); 411-418.
- Chiang, A.C., and Joan Massagué. 2008. Molecular Basis of Metastasis Anne. *New England Journal of Medicine*. 359(26); 14–23.
- D'Orazio, N., Gemello, E., Gammone, M. A., Girolamo, M., Ficoneri, C., & Riccioni, G. 2012. Fucoxanthin: A Treasure from the Sea. *Mar. Drugs*. 10; 604 - 616.
- Dai, J., dan Mumper J.M. 2010. Plant Phenolics: Extraction, Analysis and Their Antioxidant and Anticancer Properties. *Molecules*. 15; 7313-7352.
- Dewick, P.M., 2009, *Medicinal Natural Products: A Biosynthetic Approach*, 3rd Edition. A John Wiley and Sons Ltd Publication. Wiltshire. Hal. 142-149.
- Diachanty, Seftylia., Nurjanah dan Asadatun Abdullah. 2017. Aktivitas Antioksidan Berbagai Jenis Rumput Laut Coklat Dari Perairan Kepulauan Seribu. *JPHPI*. 20 (2). 1-7.
- Doores, S., and Davidson P.M.. 1983. Antimicrobials in Foods. Marcel Dekker, Inc. New york.
- Elansary, H.O., Samir, A.M., Eman A.M dkk. 2018. Effective antioxidant, antimicrobial and anticancer activities of essential oils of horticultural aromatic crops in northern Egypt. *BMC Complementary and Alternative Medicine*. 1(8); 214-225.
- Eriah, P., 2016. Komposisi Asam Lemak dan Nutrisi Alga Cokelat *Padina australis*, *Turinaria ornata*, *Sargassum cristaefolium* dari Kepulauan Talango, Kab.

- Sumenap, Madura, *Sripsi tidak diterbitkan*, Jurusan Manajemen Sumberdaya Perairan, Fakultas Perikanan dan Ilmu Kelautan, Universitas Brawijaya, Jawa Timur.
- Ferawaty, S.A., Sabdono, A., dan Pringgenies D., 2012. Potensi Antibakteri Ekstrak Rumput Laut Terhadap Bakteri Penyakit Kulit *Pseudomonas aeruginosa*, *Staphylococcus epidermidis*, dan *Micrococcus luteus*. *Journal Of Marine research* 1(2); 152-160.
- Fitriana, W. D., Ersam, T., Shimizu, K., dan Fatmawati, S. 2016. Antioxidant Activity of *Moringa oleifera* Extracts. *Indonesian Journal Chemistry*. 16(3); 297-301.
- Fitria, M., Armandari, I., Septhea, D., Ikawati, A. dan Meiyanto, E., 2011. Ekstrak etanolik herba ciplukan (*Physalis angulate L.*) berefek sitotoksik dan menginduksi apoptosis pada sel kanker payudara MCF-7. *Jurnal Ilmu-Ilmu Hayatik dan Fisik*. 13(2), 101-107.
- Furqan., dan Mainal. 2014. *Uji Antikanker kombinasi ekstrak etil asetat daun pugantano (Picria fel-terrae Lour) dengan Doksorubisin terhadap sel Kanker Payudara secara In Vitro*. Tesis. Universitas Sumatera Utara. Hal. 23, 25.
- Gita, S. 2015. Resazurin indikator aktivitas sel. *Biotrends*. 6, 2.
- Greenwell, M., dan Rahman P. 2015. Medicinal plants: Their use in anticancer treatment. *International Journal of Pharmaceutical Science Research*. 6(10), 3–12.
- Halimatussa'diah, F., Victoria Y.F dan Laode R. Aktivitas antioksidan kombinasi daun cempedak (*Artocarpus champedan*) dan Daun Bandotan (*Ageratum conyzoides L.*). *J. Trop. Pharm. Chem.* 2(5); 248-251.
- Hamidi, M., Jovanova, B., dan Panovska, T. 2014. Toxicological evaluation of the plant products using Brine Shrimp (*Artemia salina L.*) model. *Macedonian Pharmaceutical Bulletin*. 60(1); 9-18.
- Handayani N.K., dan Ade Zuhrotun. 2017. Padina Australis dan Potensinya sebagai obat Herbal Antikanker, Antibakteri dan Antioksidan. *Farmaka*. 15(2); 90-94.
- Haslam, A., & Prasad, V. 2019. Estimation of the percentage of us patients with cancer who are eligible for and respond to checkpoint inhibitor immunotherapy drugs. *JAMA Network Open*. 2(5); e192535.

- Herlina, T., Euis, J., Evy, E.E dkk. 2020. Antioksidan Dari Jeruk Nipis (*Citrus Aurantifolia*) Peningkat Imunitas Tubuh Dalam Menghindari Covid-19. *Jurnal Itekimia*. 8(2); 19-29.**
- Hidayati J.R., Ali Ridlo., & Pramesti, R. 2017. Ktivitas Antioksidan Ekstrak Rumput Laut *Padina sp* dari Perairan Bandengan Jepara dengan Metode Transfer Elektron. *Buletin Oseanografi Marine*. 6(1); 46-52.**
- Husni A., Ustadi dan Andi Hakim. 2014. Penggunaan Ekstrak Rumput Laut *Padina sp* untuk peningkatan daya simpan filet Nila Merah yang disimpan pada suhu dingin. *AGRITECH*; 34(3); 239-246.**
- Isnindar, S, W., & E.P, S. 2011. Isolasi dan identifikasi senyawa antioksidan daun kesemek (*diospyros kaki thunb.*) dengan metode dpph (2,2-difenil-1-pikrilhidrazil). *Majalah Obat Tradisional*. 16(3); 161-169.**
- Janakiraman, N., dan Johnson, M. 2016. Ethanol extracts of selected *cyathea* species decreased cell viability and inhibited growth in MCF 7 cell line cultures. *Journal of Acupuncture and Meridian Studies*. 9(3); 151–155.
- Jayaprakasha, G.K., Mandadi, K.K., Poulose, S.M, Jadegoud, Y., Nagana G.A., Patil, B.S. 2008. Novel triterpenoid from *Citrus aurantium* L. possesses chemopreventive properties against human colon cancer cells. *Bioorg Med Chem*. 16(2); 39-51.
- Junopia A.C., Natsir, H., dan Dali, S., 2020. Effectiviness of Brown Algae (*Padina australis*) extract as Antioxidant agent. *Journal of Physics*. 1-5.
- Kartini Zailanie. 2016. Study of *Padina australis* using UV-VIS, HPLC and Antibacterial. *J. Life Sci. Biomed*. 6(1); 01-05.
- Kawaii, S., Tomono, Y., Katase, E., Ogawa, K., Yano, M., 1999. Kuantitas konstituen flavonoid dalam Jeruk buah-buahan. *J Agric Food Chem*. 47; 65-71.
- Kelman, D., Posner, E.K., McDermid, K.J., Tabandera, N.K., Wright, P.R., dan Wright, A.D. 2012. Antioxidant activity of Hawaiian marine algae. *Marine Drugs*. 10; 403–416.
- Kenyori, I.K., Maura S.A., dan Nurjanah, C.I.A., 2022. Studi in silico senyawa bioaktif kuersetin kulit jeruk nipis (*citrus aurantifolia*) sebagai agen antikanker payudara. *BIMFI*. 9(1); 1-10.
- Khasanah I., Ulfah, M dan Sumantri. 2017. Uji aktivitas antioksidan ekstrak etanolik kulit buah Jeruk nipis (*Citrus aurantifolia*) dengan metode DPPH (1,1-DIFENIL-2-2-pikrilhidrazil). *Jurnal Kefarmasian Indonesia*. 9(2); 9-17.
- King R.J.B, 2000. *Cancer biology*, 2nd Ed., : Pearson Education Limited. London.

- Kishimoto T., Yoshikawa, Y., Kenichi Y., dan Seiji K. 2020. Different Effect of Cisplatin and Transplatin on the Higehr-Order Structure of DNA and Gene Expression. *Molecular Sciences*. 21(34); 2-15.
- Kurnia., Kemer, Darus S.J.P., Antonius P.R dkk. 2015. Antibakteri dari beberapa ekstrak pada Alga coklat. *Jurnal LPPM Bidang Sains dan Teknologi*. 2(1); 73-81.
- Kusmardika., dan Dina A. 2020. Potensi Aktivitas Antioksidan Daun kelor (*Morinaga Oleifera*) dalam pencegahan kanker. *Jurnal Stikes Sitihajar*. 2(1); 46-50.
- Lee, Y.C., Cheng, T.H., Lee J.S., Chen, J.H., Liao Y.C., Fong, Y., dkk. 2011. Nobiletin, a Jeruk flavonoid, menekan invasi dan migrasi yang melibatkan FAK/PI3K/Akt dan sinyal GT Pase kecil di sel AGS adenokarsinoma lambung manusia. *Biokimia Sel Mol*. 347; 10-15.
- Liana, E. 2017. *Pengaruh Konsentrasi Ekstrak Daun Jeruk Nipis (Citrus aurantifolia) Terhadap Mortalitas Larva Nyamuk Aedes Aegypti*. Skripsi. Fakultas Ilmu Tarbiyah Dan Keguruan (FITK) Institut Agama Islam Negeri (IAIN) Mataram. Hal 43.
- Lin, J., Huang, L., Yu, J., Xiang, S., Wang, J., Zhang, Z., Yan, X., dkk. 2016. Fucoxanthin, a marine carotenoid, reverses scopolamine-induced cognitive impairments in mice and inhibits acetylcholinesterase in vitro. *Marine Drugs*. 14(67); 117-128.
- Lingga, L. 2012. *Bebas Penyakit Asam Urat Tanpa Obat*. Jakarta: Agromedia Pustaka.
- Loizzo, M.R., Tundis, R., Bonesi , M., Menichini, F., dkk. 2012. Evaluation of *Citrus aurantifolia* peel and leaves extracts for their chemical composition, antioxidant and anti-cholinesterase activities. *J Sci Food Agric*. 7(2); 92:96.
- Lota, M.L., Serra, R.D., Tomi, F., Jacquemond. C., Casanova, J., 2002. Volatile components of peel and leaf oils of *lemon* and *lime* species. *J Agric Food Chem*. 50; 796-805.
- Mamahit, L.P., dan Soekamto, N.H., 2010, Satu Senyawa Asam Organik yang diisolasi dari Daun Gedi (*Abelmoschus manihot L. Medik*) Asal Sulawesi Utara, *Chem . Prog.*, 3(1); 42-45.
- Marino, Natasia., Stephan Woditschka., Tiffany R.L., Joji N., Musa, M., Maria Wetzel., and Patricia S. Steeg. 2013. Breast Cancer Metastasis: Issues for the Personalization of Its Prevention and Treatment. *American Journal of Pathology*.183(4); 84–95.

- Masriani. 2021. *Potensi Antioksidan dan Antikanker Alkaloid Bisbenzilisoquinolin dari Akar Sengkubak (Pycnarrhena cauliflora(Miers) Diels): Isolasi, Sitotoksitas dan Mekanisme Aksinya*. Disertasi. Yogyakarta. Universitas Gadjah Mada. Hal. 6-17.
- Meyer, B.N., Ferrigni, N.R., Putnam, J.E., Jacobsen, L.B., Nichols, D.E., dan McLaughlin, J.L. 1982. Brine Shrimp : A Convenient General Bioassay for Active Plant Constituents. *Plant Medica*. Hal. 31-34.
- Mulia, K., Akhmad, E., Zainal, Hasan., dan Suryani. 2016. Total Phenolic, Anticancer and Antioxidant Activity of Ethanol Extract of *Piper retrofractum Vahl* from Pamekasan and Karang Asem. *Current Biochemistry*. 3(2); 80-90.
- Mutmainah dan Fitri, N., 2015. *Pengaruh Variasi Pelarut ekstraksi Rimpang Temu Mangga terhadap potensi Aktivitas Antioksidan dan Antifungi secara In Vitro*. Skripsi. Malang; Universitas Islam Negeri Maulana Malik Ibrahim. Hal 7-29.
- Nogueira., Raquel B.S.S., Anna C.A. Tomaz., Deborah R., Pessoa dkk. 2017. Brown Algae *Padina sanctae-crucis* Borgesen: A Potential Nutraceutical. *Marine Drugs*. 15(1); 1-15
- Novo, E dan Parola, M., 2008. Redox mechanisms in hepatic chronic wound healing and fibrogenesis. *Fibrogenesis Tissue Repair*. 1(1).
- Nursid M., Dedi N., Lestari, R dkk. 2016. Isolasi Fukosantin dari Rumput laut coklat *Padina australis* dan Sitotoksitasnya terhadap sel MCF7 dan sel vero. *JPB Kelautan dan Perikanan*. 1(11); 83-90.
- Pallavi, R., Elakkiya, S.S., Sai, R.T., dan Suganya D.P., 2012. Anthocyanin Analysis and Its Anticancer Property from Sugarcane (*Saccharum Officinarum L*) Peel. *International Journal of Research in Pharmacy and Chemistry*. 2(2); 67-75.
- Pallavi, M., Ramesh, C.K., Krishna, V., Parveen, S., dan Swamy, N.L., 2017, Quantitative Phytochemical Analysis and Antioxidant Activities of Some Citrus Fruits of South India. *Asian J Pharm Clin Res*, 10(12); 198–205.
- Parameswaran PS., C.G. Naik, B Das & Y Kamal. 1996. Constituents of the brown alga *Padina tetrastromatica* (Hauck)-II. *Indian Journal of Chemistry*. 35 B; 463-467.
- Patil, J.R. Jayaprakasha, G.K., Murthy, K.N.C., Tichy, S.E dkk. 2009. Apoptosis-mediated Proliferation Inhibition of human Colon Cancer Cells by Volatile Principles of *Citrus aurantifolia*. *Food chemistry*, 114; 1351-1358.

- Paul, J., John Peter., 2014. Anti-Cancer Potential Of Fucoidan Extracted From *Padina Distromatica Hauck* (*Brown Seaweed*) From Hare Island, Thoothukudi, Tamil Nadu, India. *Asian Journal of Pharmaceutical Science & Technology*. 4(4); 217-221.
- Peng, J., Yuan, J.P., Wu, C.F., and Wang, J.H., 2012. Fucoxanthin, a marine carotenoid present in brown seaweeds and diatoms: metabolism and bioactivities relevant to human health. *Marine Drugs*. 9(10); 1806-1828.
- Peterson, J., Beecher , G.B.S., Dwyer J., Gebhardt S., Haytowitz D, dkk. 2006. Flavanones in grapefruit, lemons, and limes: A compilation and review of the data from the analytical literature. *J Food Compost Anal*. 19; 74-80.
- Permata, A.N., Atik, K., dan Betty, L. 2018. Screening Phytochemicals, Antioxidant and Antimicrobial activities in Orange Lemon (*Citrus lemons*) and Lime (*Citrus aurantifolia*). *Scientific Journal of Ibn Sina*. 2(1); 64-76.
- Phongpaichit, S., Nikom, J., Rungjindamai, N., Sakayaroj, J., Hutadilok-Towatana, N., Rukachaisirikul, V., dan Kirtikara, K. 2007. Biological activities of extracts from endophytic fungi isolated from *Garcinia* plants. *FEMS Immunology and Medical Microbiology*. 51(3); 517–525.
- Piccinelli AL., García, M.M., Armenteros DM., Alfonso, M.A., Arevalo, A.C., Campone, L dkk. 2008. HPLC-PDA-MS and NMR characterization of C-glycosyl flavones in a hydroalcoholic extract of *Citrus aurantifolia* leaves with antiplatelet activity. *J Agric Food Chem*. 56 (15); 74-81.
- Poulose, S.M., Harris, E.D., and Patil B.S. 2005. *Citrus limonoids* induce apoptosis in human neuroblastoma cells and have radical scavenging activity. *J Nutr*. 135; 70-87.
- Prasonto, D., Eriska, R., Meirina, G., 2017. Uji Aktivitas Antioksidan Ekstrak Bawang Putih (*Allium Sativum*). *ODONTO Dental Journal*. 4(2); 122-128.
- Prastiwi, S., Ferdiansyah F. 2017. Kandungan Dan Aktivitas Farmakologi Jeruk Nipis (*Citrus aurantifolia* Swing.). *Farmaka*. 15(2); 1-8.
- Putra, P.E., Puspawati, N.M. dan Parwata, M.O.A. 2018. Aktivitas Antioksidan Senyawa Flavonoid Pada Ekstrak N-Butanol Daun Cendana dan Potensinya Sebagai Agen Antikanker dengan Metode *Brine Shrimp Lethality Test*. *Cakra Kimia (Indonesian E-Journal of Applied Chemistry)*. 6 (1).
- Putri, D.A., Ulfi, A., Purnomo, A.S., dan Fatmawati, S. 2018. Antioxidant and antimicrobial activities of *Ananas comosus* peel extracts. *Malaysian Journal of Fundamental and Applied Sciences*. 14(2); 307-311.

- Rahardjo., Setyo, S.M., Febrinasari, R.P. dan Sudarsono, J., 2020. *Pengobatan Komplementer Herbal 2*. Fakultas Kedokteran Universitas Sebelas Maret. Surakarta; Hal.6-15.
- Ramadhianto, A. 2017. *Uji Bioaktivitas Crude Buah Jeruk Nipis (Citrus aurantifolia) Terhadap Bakteri Escherichia coli Secara In Vitro*. Skripsi. Jurusan Biologi Fakultas Biologi Universitas Medan. Hal 37-43.
- Razak., Abdul, A.D., Gusti, R., 2013. *Uji Daya Hambat Air Perasan Buah Jeruk Nipis (citrus aurantifolia s.) Terhadap Pertumbuhan Bakteri Staphylococcus aureus Secara In Vitro*. Padang. Skripsi. Universitas Andalas, Fakultas Kedokteran. Hal. 16-24.
- Reddy, L.J., Jalli, R.D., Jose, B dkk. 2012. Evaluation of Antibacterial & Antioxidant activities if the Leaf Essential Oil & Leaf extract of *Citrus aurantifolia*. *Asian Journal of Biochemical and Pharmaceutical Research*. 2(3); 46-53.
- Rhamadanti, A., 2021. *Manfaat Jeruk Nipis (Citrus Aurantifolia) Dalam Menghambat Pertumbuhan Candida Albicans*. Skripsi.
- Riskesdas. 2018. *Riset Kesehatan Dasar 2018*. In Kementrian Kesehatan Republik Indonesia.
- Ruddon., R.W. 2007. *Cancer Biology*. 4th Ed. Oxford University Press Inc.New York. Hal.89.
- Romimohtarto dan Juwana, 2007. *Biologi Laut. Edisi revisi*. Djambatan. Jakarta.
- Rumagit, Hanna M., Max R.J.R dan Sri Sudewi. 2015. Uji Fitokimia dan Uji Aktivitas Antioksidan Dari Ekstrak Etanol Spons *Lamellodysidea herbacea*. *Jurnal Ilmiah Farmasi*. 4 (3).
- Sarasmita, M.A dan Laksmiani., N.P.L. 2015. Uji Sitotoksitas Ekstrak Etanol Limbah Kulit Buah Naga Merah (*Hylocereus polyrhizus*) pada Sel Kanker Payudara Secara In Vitro dan In Silico. *Jurnal Farmasi Udayana*. ISSN 2622-4607.
- Sari, D.P., Pangemanan, D.H.C. dan Juliatri. 2016. Uji Daya Hambat Ekstrak Alga Coklat (*Padina australis Hauck*) terhadap Pertumbuhan Bakteri *Porphyromonas Gingivalis* Secara In Vitro. *Jurnal e-GiGi*. 4(2); 140-144.
- Sari, N., & Afni Amran, V. 2019. Hubungan Penggunaan Kontrasepsi Oral dengan Kanker Payudara Wanita Premenopause. *Jurnal Ilmiah Kesehatan Sandi Husada*, 10(2); 132–137.
- Septiawan, A.Nada., Emelda dan Saddam Husein. 2020. Aktivitas antioksidan kombinasi ekstrak etanol lidah buaya (*Aloe vera l.*) Dan ganggang hijau

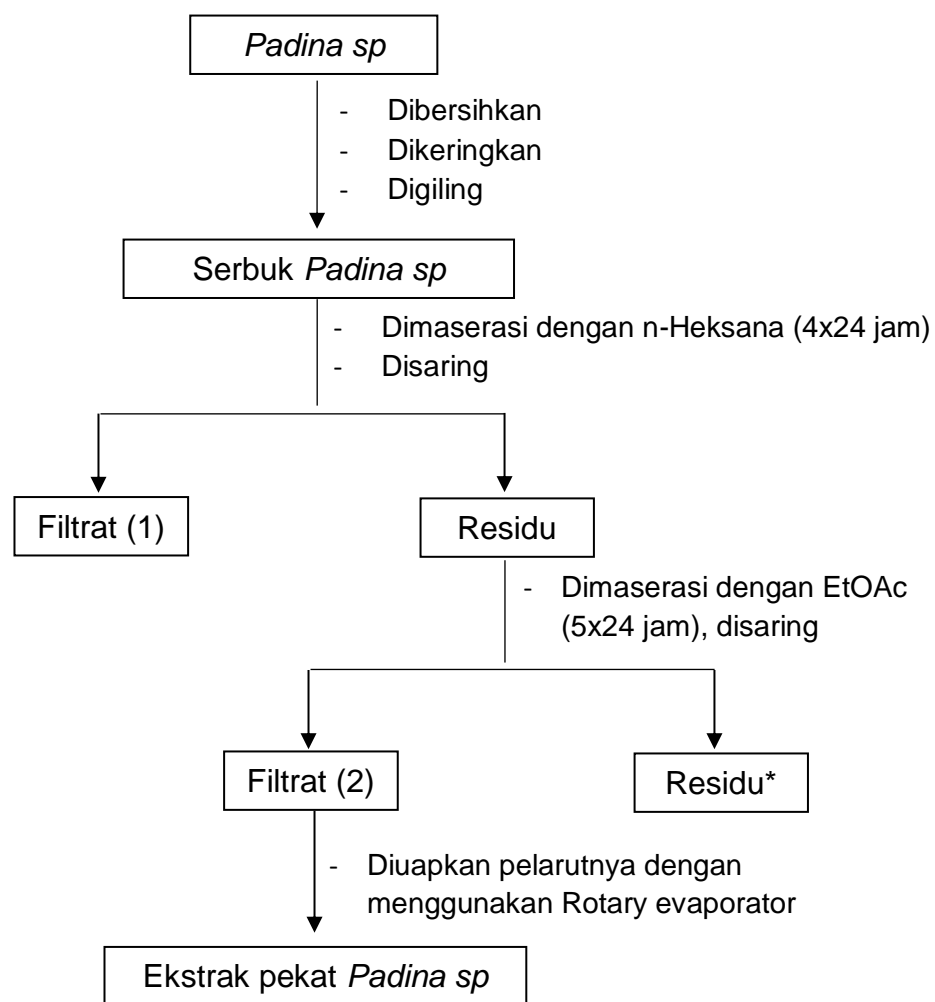
- (*Ulva lactuca l.*). *Indonesian Pharmacy and Natural Medicine Journal*, 4(1); 11-24.
- Siddhanta, A.K., Mody, K.H., Ramavat, B.K., Chauhan, V.D., dkk. 1997. Bioactivity of marine organisms: Part VIII-Screening of some marine flora of Western coast of India. *Indian Journal Experimental Biology*. 35; 638-643.
- Siddhanta, A.K., Prasad, K., Meena, R., Prasad, G., Mehta, G.K., Chhatbar, M.U., Oza, M.D., dkk. 2010. The cellulose contents of Indian seaweeds. *Journal of Applied Phycology*. 23; 919– 923.
- Solicah, M. 2018. *Uji aktivitas antioksidan air perasan jeruk nipis (citrus aurantifolia s.) Dengan metode abts (2,2-azinobis(3- ethylbenzothiazoline)-6-sulfonic acid) dan penetapan kadar flavonoid totalnya*. Skripsi. Universitas Wahid Hasyim; Semarang.
- Son, H.L., dan Anh, N.P. 2013. Phytochemical composition, in vitro antioxidant and anticancer activities of quercetin from methanol extract of *Asparagus cochinchinensis*. *Academic Journal*. 7(46); 3360-3366.
- Suganda, A.G., Swandari, S., Dewi, R., Sukmawan, R. H., Maeka, L., dan Ratna, A. L., 2007. Telaah Kandungan Kimia *Padina australis* Hauck (Dyctotaceae). *Detail Penelitian Obat Bahan Alam*. 17(2); 401-412.
- Suryowati, T., Rimbawan., Rizal Damanik., Maria Bintang dan Ekowati Handharyani. 2015. *Identification of chemical compound and antioxidant activity in torbangun [Coleus amboinicus Lour] plant*. *J. Gizi Pangan*. 10(3); 217-224.
- Syah, Y.M., 2016. *Dasar-Dasar penentuan struktur molekul berdasarkan data spektrum ¹H dan ¹³C-NMR*. Laboratorium Spektroskopi Massa dan NMR FMIPA ITB: Bandung.
- Tallei, T.E., Tumilaar, S.G., Niode, N.J., Fatimawali, F., Kepel, B.J., Idroes, R., Effendi, Y., Sakib, S.A., dan Emran, T.B., 2020. Potential of Plant Bioactive Compounds as SARS-CoV-2 Main Protease (Mpro) and Spike (S) Glycoprotein Inhibitors: A Molecular Docking Study, Hindawi. *Scientifica*. Hal. 1-18.
- Thomson, A.J. The Discovery, Use and Impact of Platinum as Chemotherapy Agent for Cancer. Wellcome Trust Witnesses to Twentieth Century. 2007. *Journal Medicine*. 30; 6–15.
- Tunjung, W., dan Sayekti, P.R. 2019. Apoptosis induction on human breast cancer T47D cell line by extracts of *Ancorina*. *Research*. 8 (168).
- Wang, L.L., B.K. Yang, K.L. Parkin, and E.A. Johnson. 1993. Inhibition of *Listeria monocytogenes* by *monoacylglycerols* synthesized from coconut oil and

- milk fat by *lipasecatalyzed glycerolysis*. *J. Agric. Food Chem.* 41; 1000-1005.
- Wasito, H., Ekowati, H., Hayati, F.F., 2011, In Vitro Antioxidant Activity of *Zingiber officinale*, *Piper retrofractum*, and Their Combinations, *Indones J Cancer Chemoprevention*, 2(3); 295-298.
- Wei, M., dkk. 2011. Attachment, self-compassion, empathy, and subjective wellbeing among college students and community adults. *Journal of Personality*. 79(1); 191-221.
- Werdhasari., Asri. 2014. Peran Antioksidan Bagi Kesehatan. *Jurnal Biotek Medisiana Indonesia*. 3(2); 59-68.
- Winarsi, H. 2007. *Antioksidan Alami dan Radikal Bebas*. Kanisius: Yogyakarta.
- Yanuary, R., 2021. Uji aktivitas antioksidan daun jeruk nipis (*Citrus aurantifolia*) secara spektrofotometri UV-VIS. *Jurnal FARMASINDO Politeknik Indonesia Surakarta*. 5(1); 53-56.
- Zhang N., Yin Y., Xu SJ., and Chen WS. 2008 5fluorouracil: mechanism of resistance and reversal strategies. *Molecules*. 18; 1551-1569.
- Zou, Y., Lu Y dan Wei D. 2004. Antioxidant Activity of a Flavonoid-Rich Extract of *Hypericum perforatum* L. in Vitro. *J. Agric. Food Chem.* 52(16); 5032-5039.
- Zuraida. 2018. Analisis Toksisitas Beberapa Tumbuhan Hutan Dengan Metode *Brine Shrimp Lethality Test (BSLT)*. *Jurnal Penelitian Hasil Hutan*. 36 (3); 239-246.

LAMPIRAN BAGAN KERJA

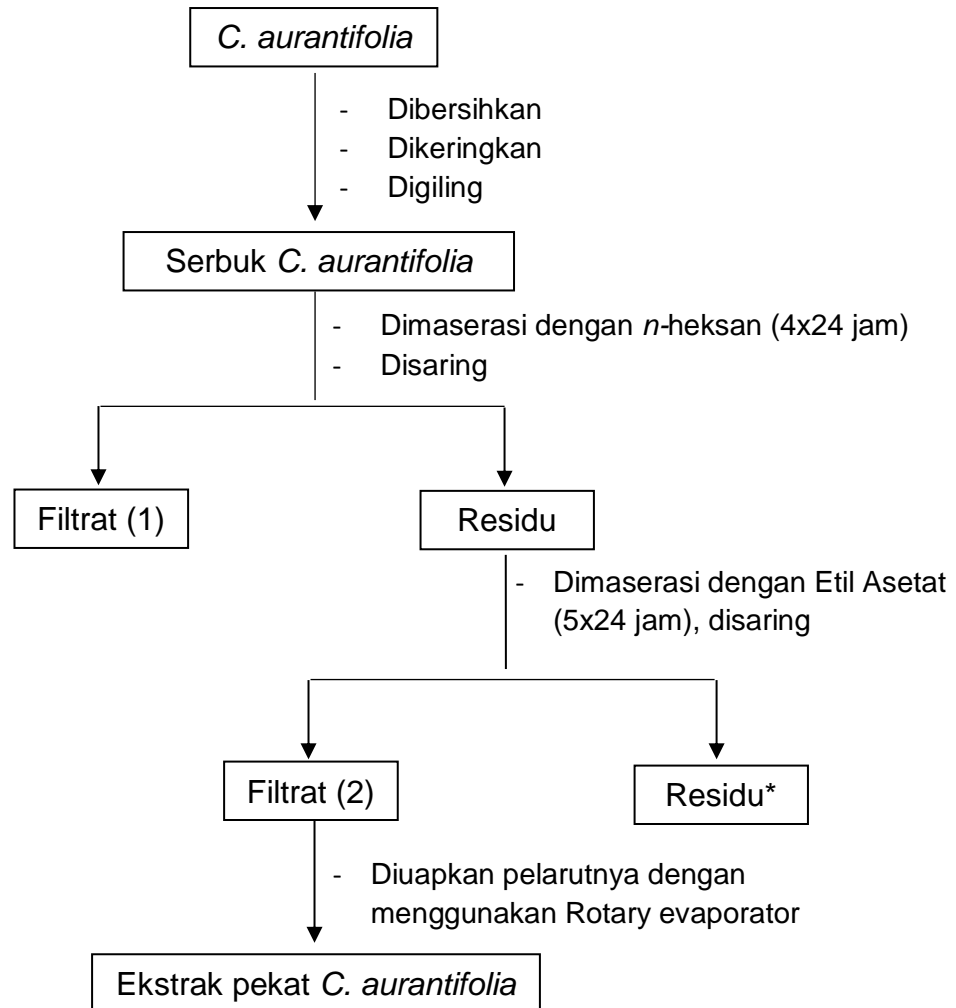
Lampiran 1. Bagan kerja isolasi metabolit sekunder dari kombinasi ekstrak etil asetat *Padina sp* dan *Citrus aurantifolia*

1.1. Ekstraksi sampel *Padina sp*



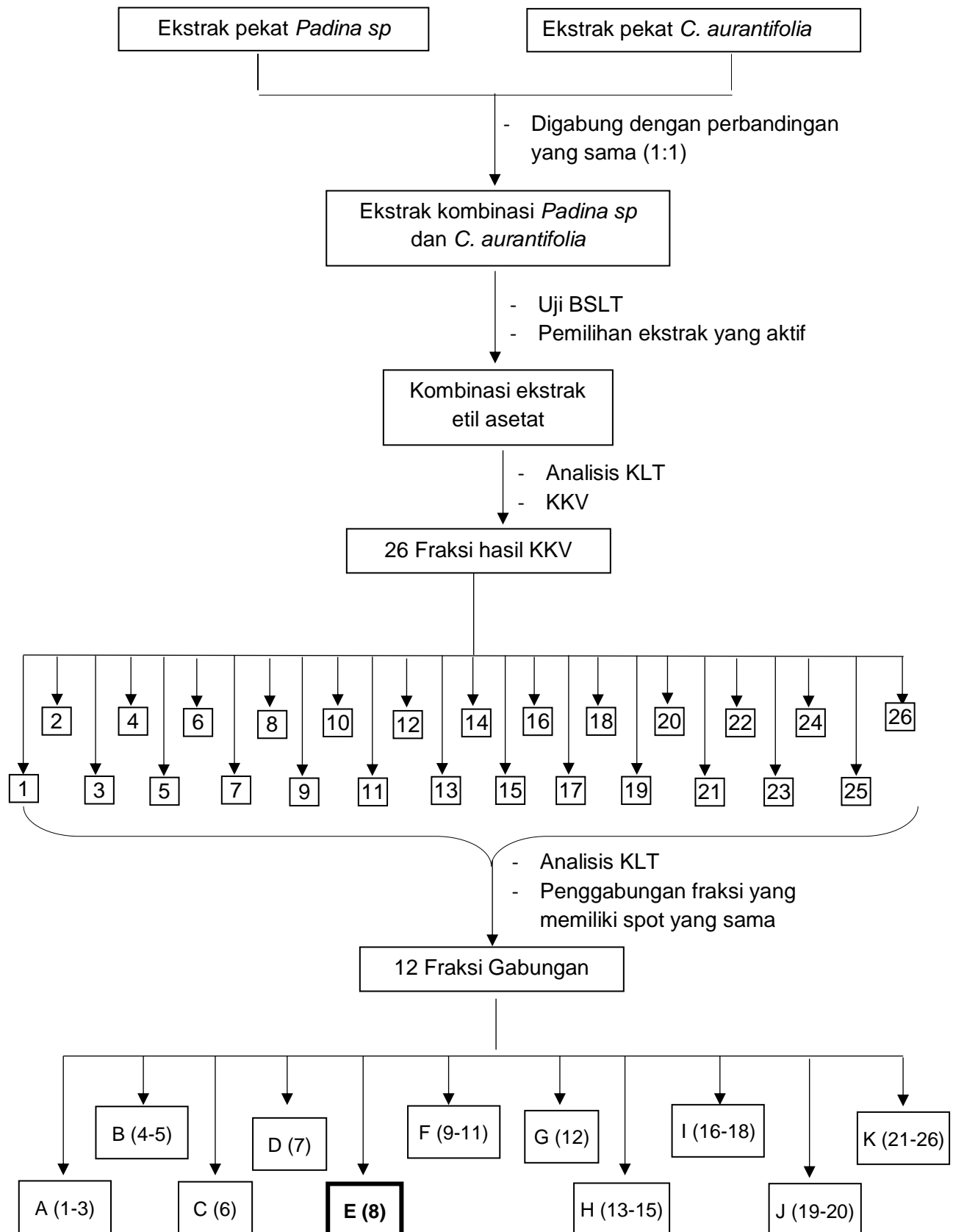
*Catatan : dilanjutkan dengan maserasi menggunakan pelarut Aseton (4x24 jam) dan metanol (4x24 jam)

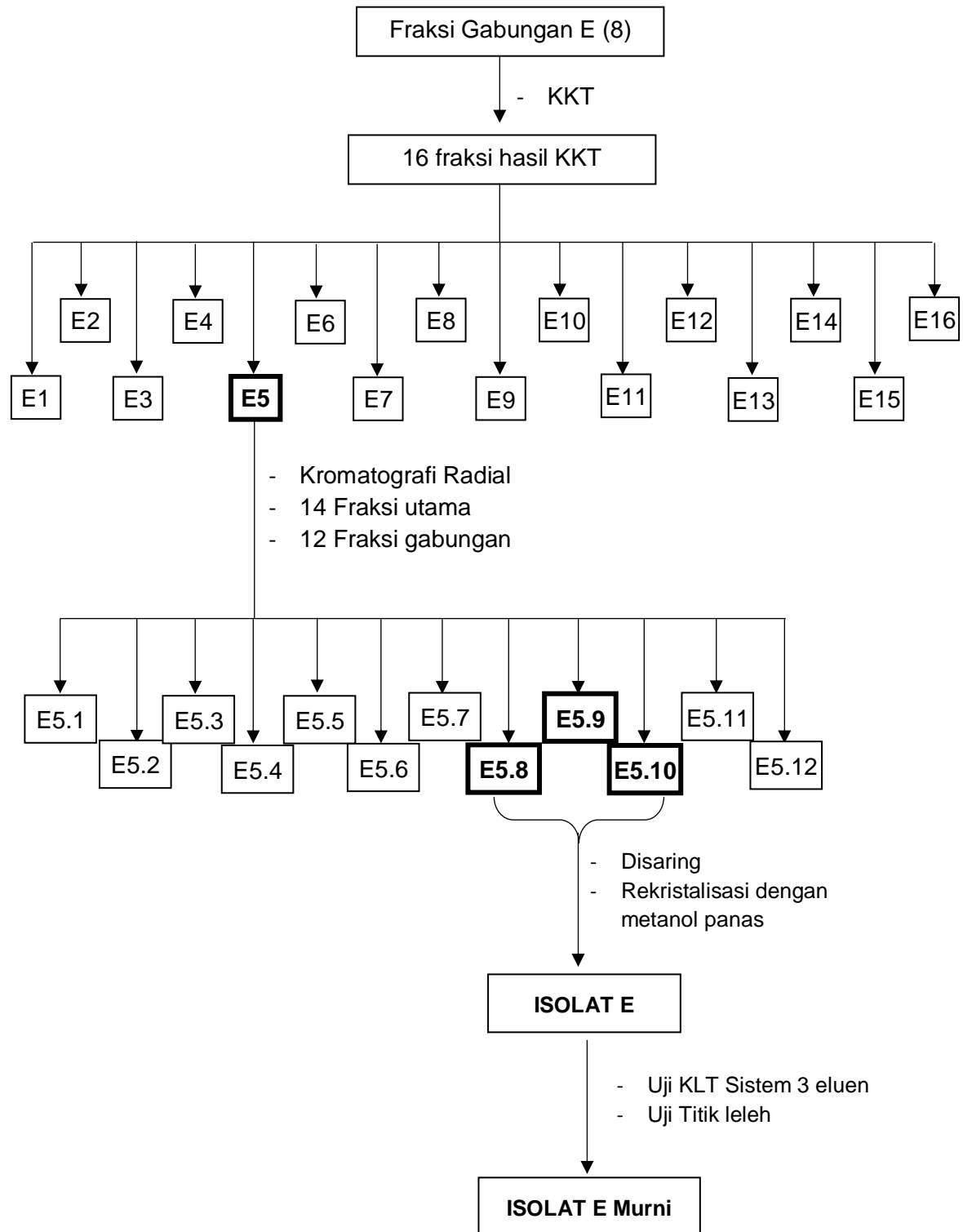
1.2. Ekstraksi sampel *C. aurantifolia*



*Catatan : dilanjutkan dengan maserasi menggunakan pelarut Aseton (4x24 jam) dan metanol (4x24 jam)

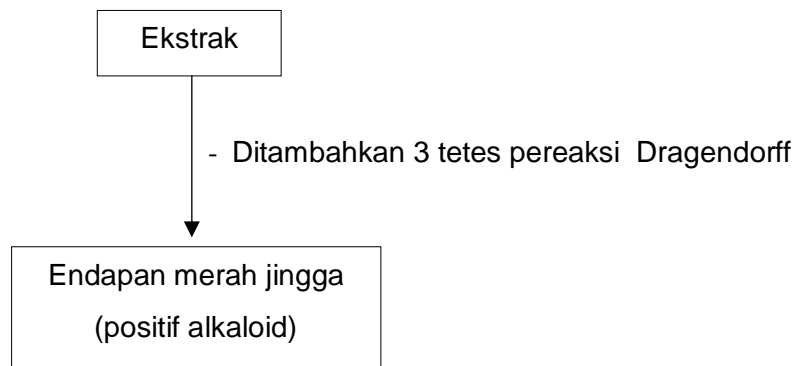
1.3 Fraksinasi Kombinasi Ekstrak *Padina sp* dan *C. aurantifolia*



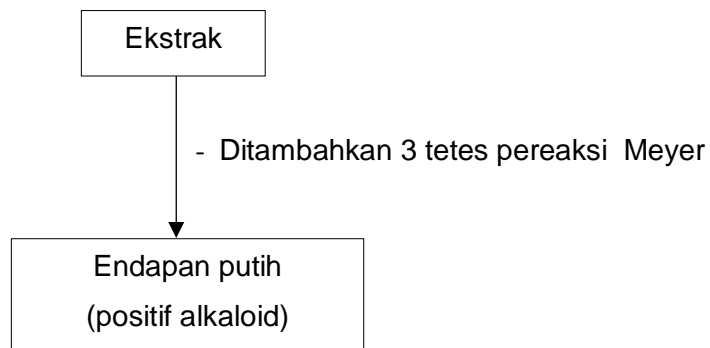


Lampiran 2. Uji fitokimia

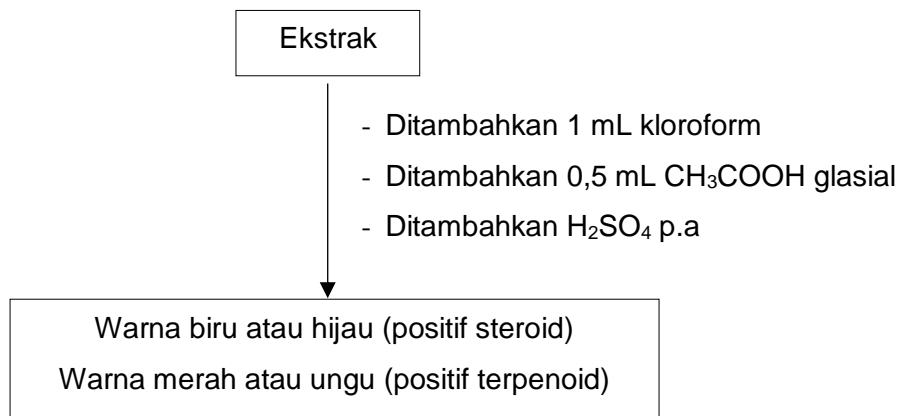
2.1 Uji Alkaloid (Pereaksi Dragendorff)



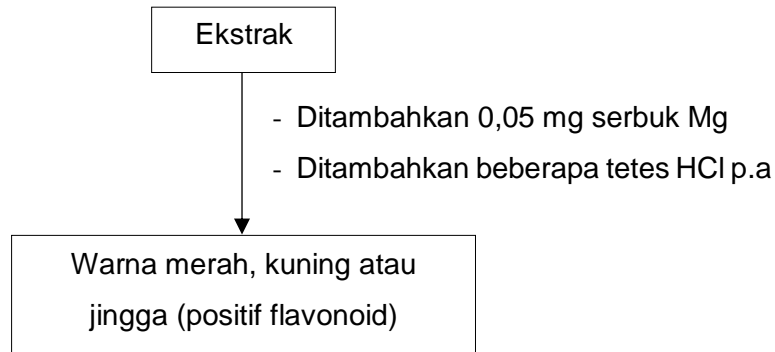
2.2 Uji Alkaloid (Pereaksi Meyer)



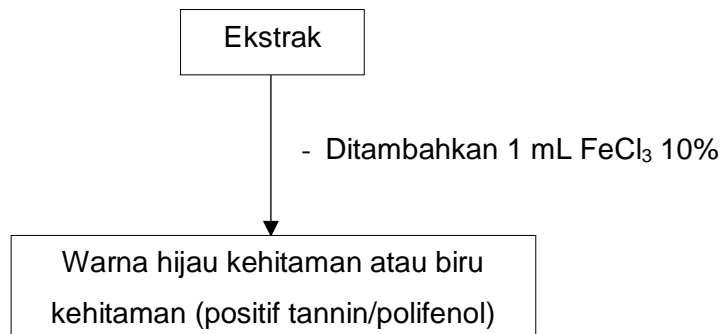
2.3 Uji Steroid/Terpenoid



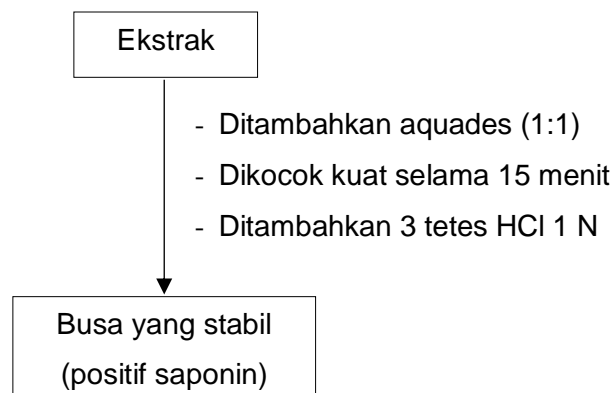
2.4 Uji Flavonoid



2.5 Uji Tanin

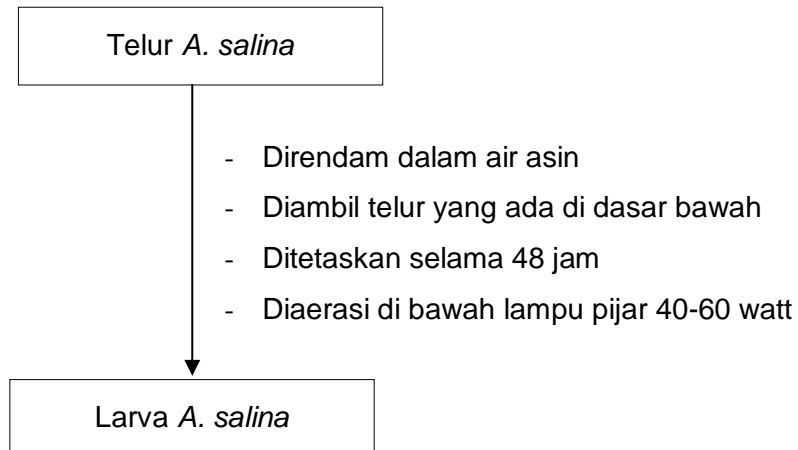


2.6 Uji Saponin

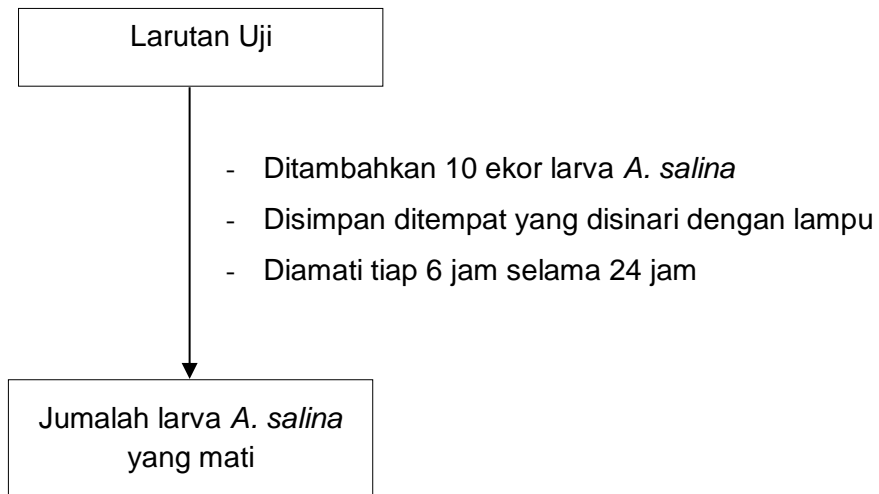


Lampiran 3. Pengujian toksisitas dengan metode BSLT

3.1 Penetasan telur *Artemia salina* (*A. salina*)

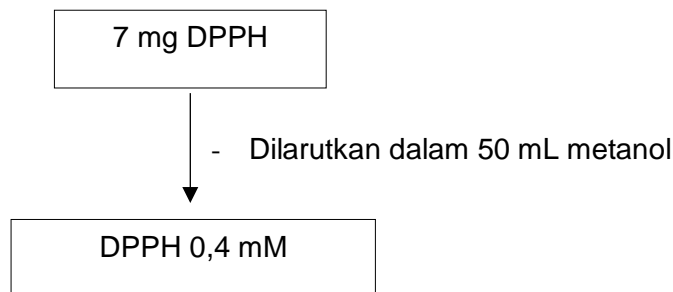


3.2 Pengujian Toksisitas

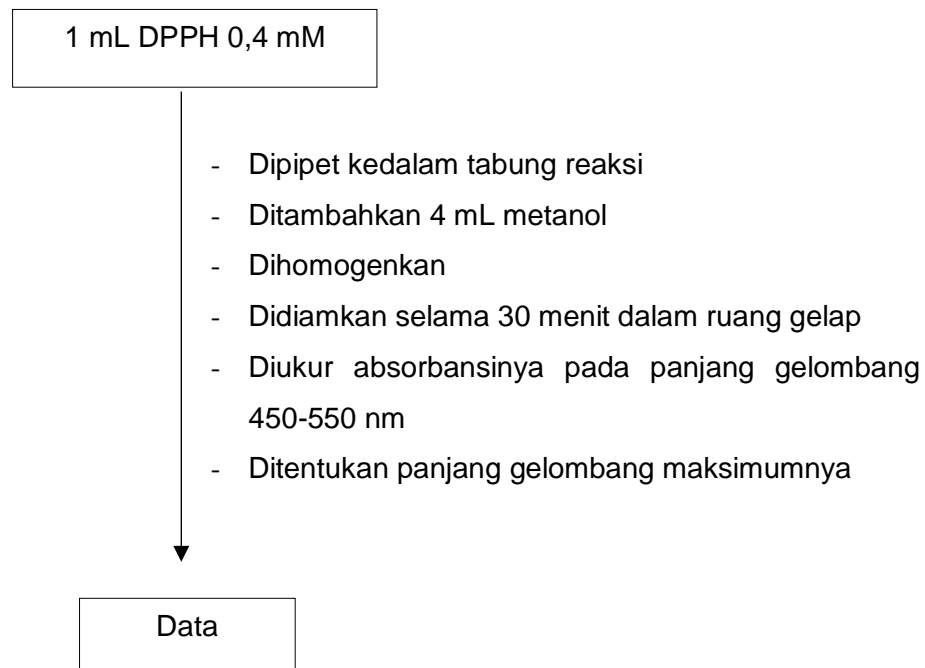


Lampiran 4. Pengujian aktivitas antioksidan dengan metode DPPH

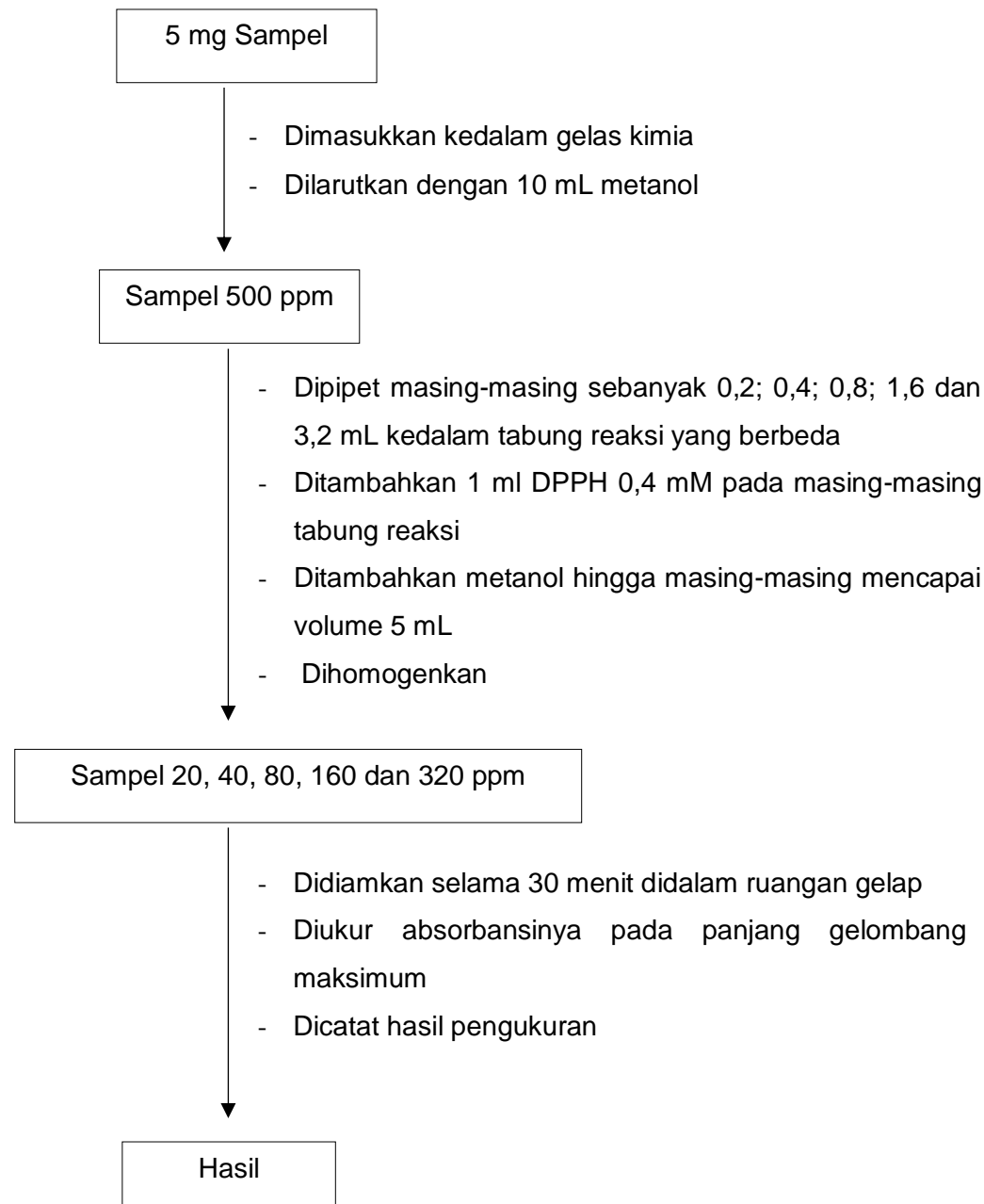
4.1 Pembuatan Larutan DPPH (2,2-Diphenyl-1-Picrylhydrazyl) 0,4 mM



4.2 Penentuan Panjang Gelombang Maksimum

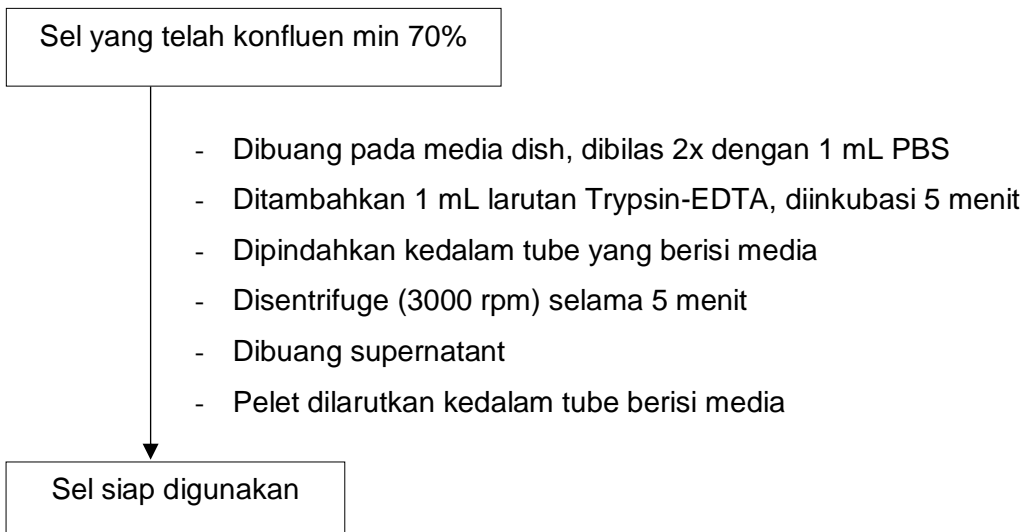


4.3 Pengukuran Daya Antioksidan Sampel

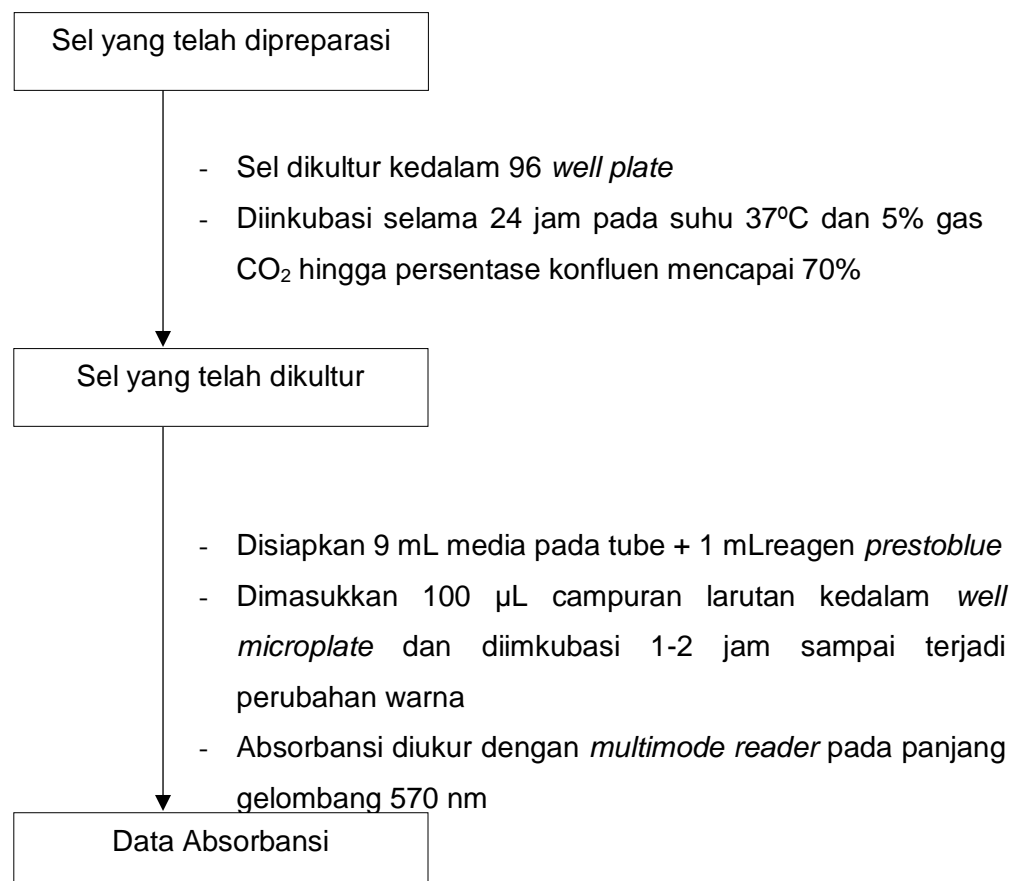


Lampiran 5. Pengujian sitotosik terhadap sel MCF-7

5.1 Preparasi Sel



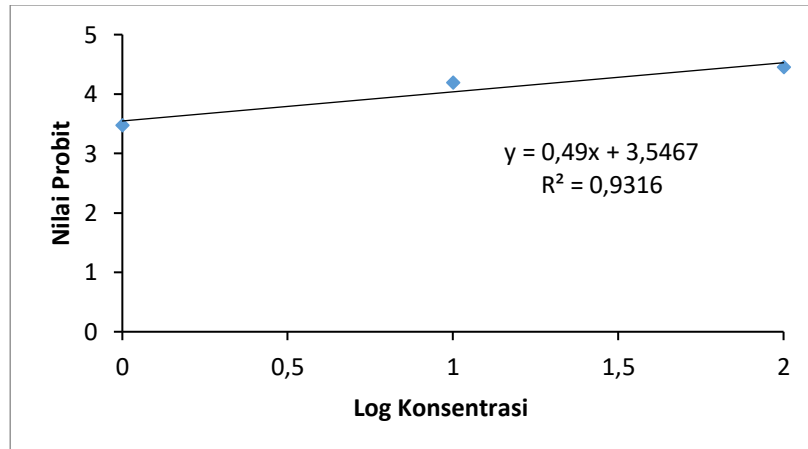
5.2 Pengujian sampel terhadap sel MCF-7



Lampiran 6. Perhitungan nilai LC₅₀ dengan metode BSLT

6.1 Perhitungan nilai LC₅₀ ekstrak *n-heksana Padina sp*

Log Konsentrasi (X)	% Kematian	Nilai Probit (Y)
0	7	3,47
1	20	4,19
2	33	4,45



Untuk LC₅₀ (x), nilai probit adalah 5 (y), dimasukkan ke persamaan regresi

$$y = 0,490 x + 3,546$$

$$y - \frac{3,546}{0,490} = x$$

$$5 - \frac{3,546}{0,490} = 2,967346$$

Jadi, Log x = 2,967346

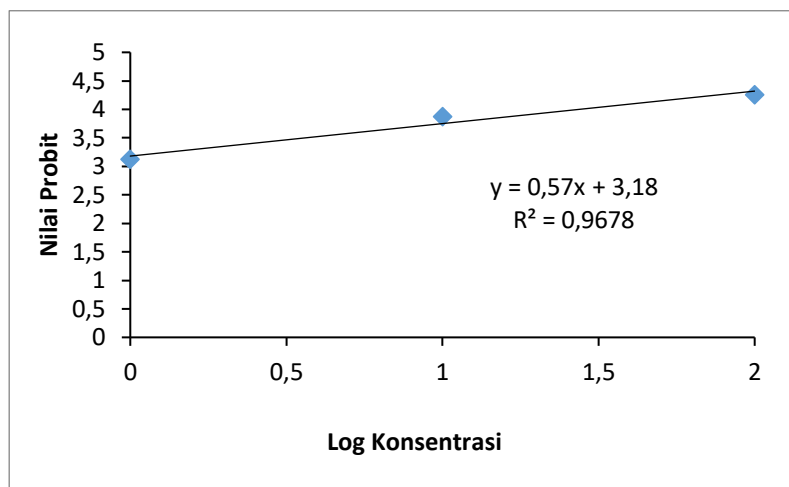
$$x = \text{antilog } 2,967346$$

$$x = 927,568 \text{ ppm}$$

$$\text{LC}_{50} \text{ sampel} = 927,568 \text{ ppm}$$

6.2 Perhitungan nilai LC₅₀ ekstrak etil asetat *Padina sp*

Log Konsentrasi (X)	% Kematian	Nilai Probit (Y)
0	3	3,12
1	13	3,87
2	23	4,26



Untuk LC₅₀ (x), nilai probit adalah 5 (y), dimasukkan ke persamaan regresi

$$y = 0,570 x + 3,180$$

$$y - \frac{3,180}{0,570} = x$$

$$5 - \frac{3,180}{0,570} = 3,192982$$

Jadi, Log x = 3,192982

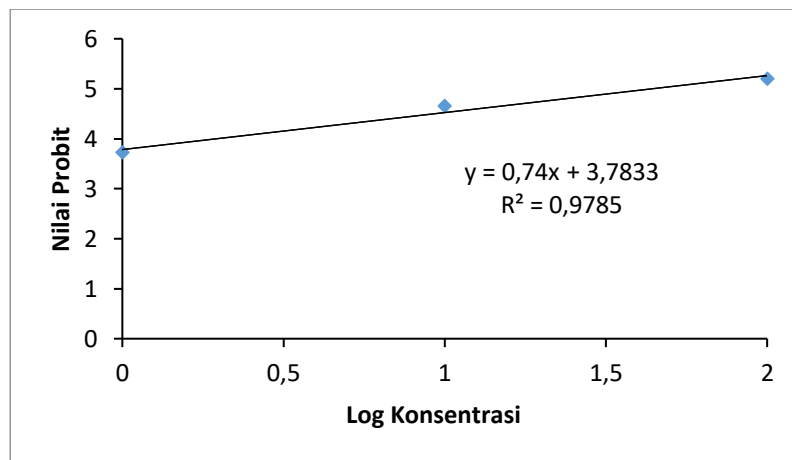
$$x = \text{antilog } 3,192982$$

$$x = 1559,490 \text{ ppm}$$

$$\mathbf{LC_{50} sampel = 1559,490 ppm}$$

6.3 Perhitungan nilai LC₅₀ ekstrak aseton *Padina sp*

Log Konsentrasi (X)	% Kematian	Nilai Probit (Y)
0	3	3,12
1	20	3,72
2	33	4,12



Untuk LC₅₀ (x), nilai probit adalah 5 (y), dimasukkan ke persamaan regresi

$$y = 0,50 x + 3,1533$$

$$y - \frac{3,1533}{0,50} = x$$

$$5 - \frac{3,1533}{0,50} = 3,6934$$

Jadi, Log x = 3,6934

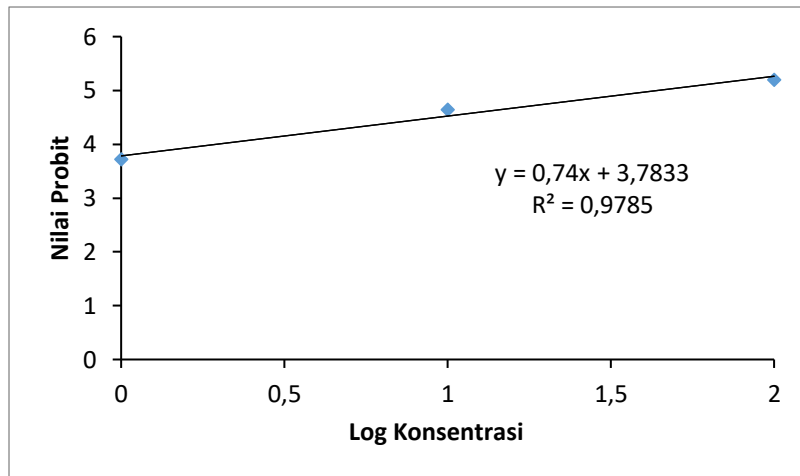
$$x = \text{antilog } 3,6934$$

$$x = 4936,282 \text{ ppm}$$

$$\text{LC}_{50} \text{ sampel} = 4936,282 \text{ ppm}$$

6.4 Perhitungan nilai LC₅₀ ekstrak metanol *Padina sp*

Log Konsentrasi (X)	% Kematian	Nilai Probit (Y)
0	3	3,12
1	13	3,87
2	27	4,39



Untuk LC₅₀ (x), nilai probit adalah 5 (y), dimasukkan ke persamaan regresi

$$y = 0,635 x + 3,158$$

$$y - \frac{3,158}{0,635} = x$$

$$5 - \frac{3,158}{0,635} =$$

Jadi, Log x = 2,900787

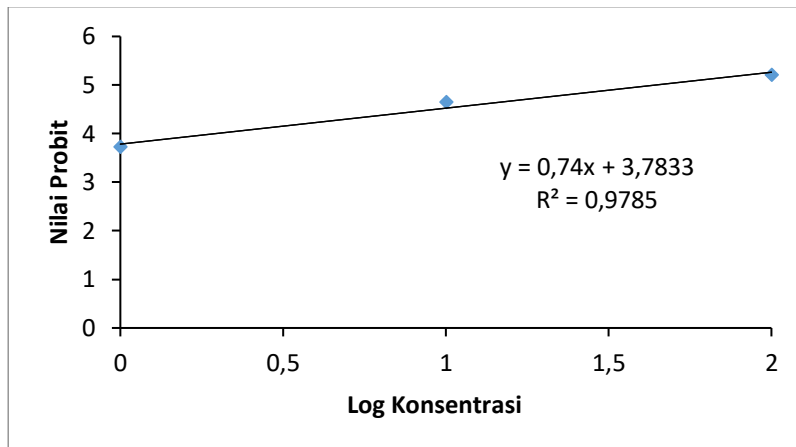
$$x = \text{antilog } 2,900787$$

$$x = 795,768 \text{ ppm}$$

$$\text{LC}_{50} \text{ sampel} = 795,768 \text{ ppm}$$

6.5 Perhitungan nilai LC₅₀ ekstrak *n*-heksana *C. aurantifolia*

Log Konsentrasi (X)	% Kematian	Nilai Probit (Y)
0	10	3,72
1	35	4,65
2	58	5,2



Untuk LC₅₀ (x), nilai probit adalah 5 (y), dimasukkan ke persamaan regresi

$$y = 0,740 x + 3,043$$

$$y - \frac{3,043}{0,740} = x$$

$$5 - \frac{3,043}{0,740} = 2,644594$$

Jadi, Log x = 2,644594

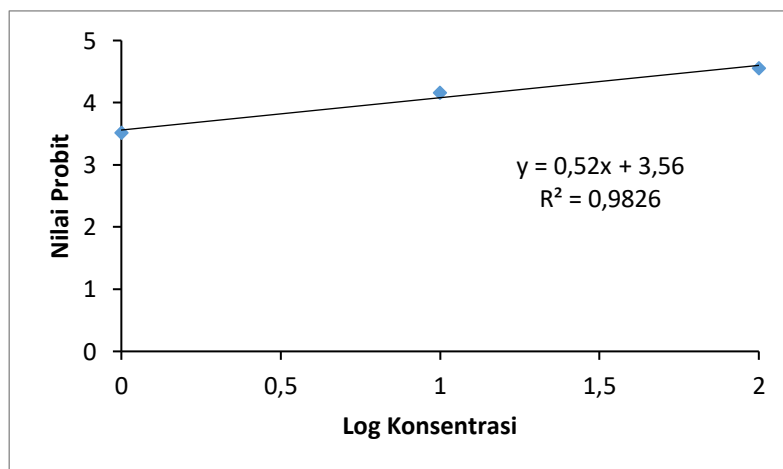
$$x = \text{antilog } 2,644594$$

$$x = 441,157 \text{ ppm}$$

LC₅₀ sampel = 441,157 ppm

6.6 Perhitungan nilai LC₅₀ ekstrak etil asetat *C. aurantifolia*

Log Konsentrasi (X)	% Kematian	Nilai Probit (Y)
0	7	3,52
1	20	4,16
2	33	4,56



Untuk LC₅₀ (x), nilai probit adalah 5 (y), dimasukkan ke persamaan regresi

$$y = 0,520 x + 3,560$$

$$y - \frac{3,560}{0,520} = x$$

$$5 - \frac{3,560}{0,520} = 2,769231$$

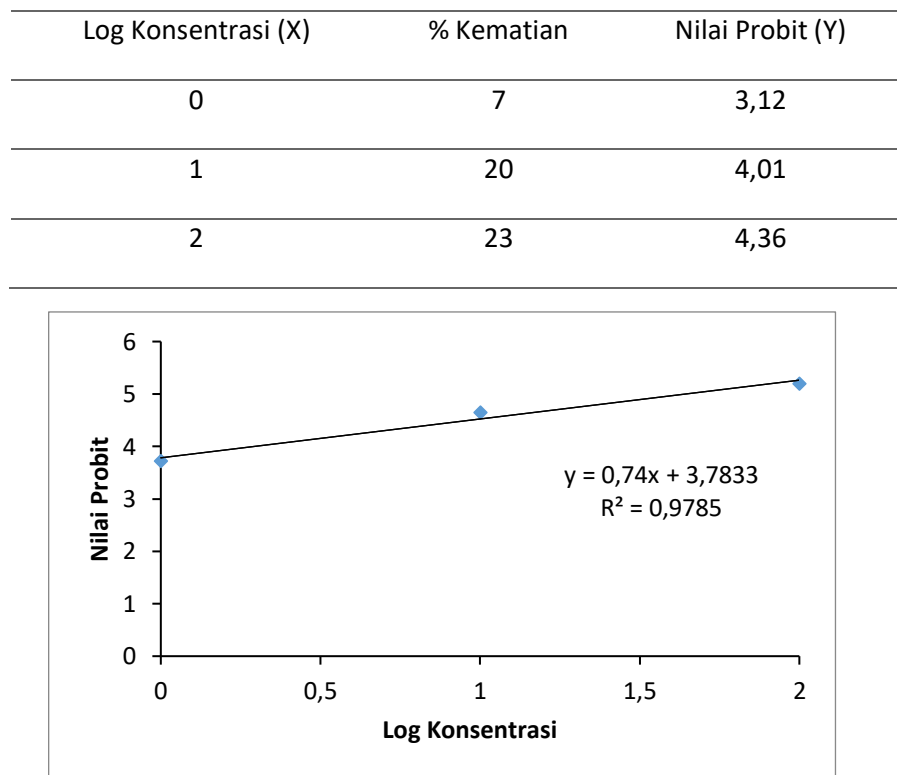
Jadi, Log x = 2,769231

$$x = \text{antilog } 2,769231$$

$$x = 587,801 \text{ ppm}$$

$$\mathbf{LC_{50} sampel = 587,801 \text{ ppm}}$$

6.7 Perhitungan nilai LC₅₀ ekstrak aseton *C. aurantifolia*



Untuk LC₅₀ (x), nilai probit adalah 5 (y), dimasukkan ke persamaan regresi

$$y = 0,620 x + 3,210$$

$$y - \frac{3,210}{0,620} = x$$

$$5 - \frac{3,210}{0,620} = 2,887096$$

Jadi, Log x = 2,887096

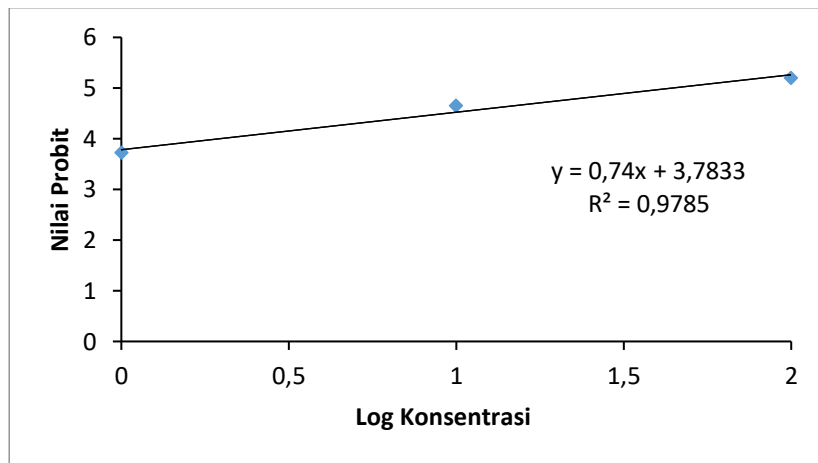
$$x = \text{antilog } 2,887096$$

$$x = 771,075 \text{ ppm}$$

$$\text{LC}_{50} \text{ sampel} = 771,075 \text{ ppm}$$

6.8 Perhitungan nilai LC₅₀ ekstrak metanol *C. aurantifolia*

Log Konsentrasi (X)	% Kematian	Nilai Probit (Y)
0	0	3,12
1	7	3,82
2	15	4,26



Untuk LC₅₀ (x), nilai probit adalah 5 (y), dimasukkan ke persamaan regresi

$$y = 0,570 x + 3,1633$$

$$y - \frac{3,1633}{0,570} = x$$

$$5 - \frac{3,1633}{0,570} = 3,222280$$

Jadi, Log x = 3,222280

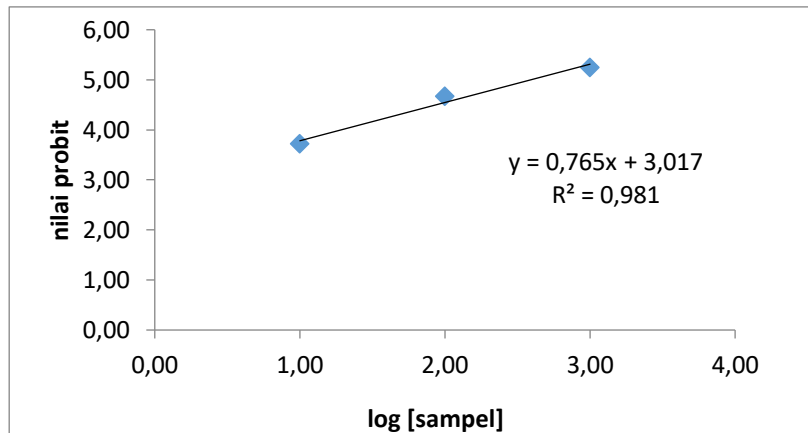
$$x = \text{antilog } 3,222280$$

$$x = 1668,322 \text{ ppm}$$

$$\mathbf{LC_{50} sampel = 1668,322 \text{ ppm}}$$

6.9 Perhitungan nilai LC₅₀ ekstrak n-heksana KPC

Log Konsentrasi (X)	% kematian	Nilai Probit (Y)
1	10	3,72
2	37	4,67
3	60	5,25



Untuk LC₅₀ (x), nilai probit adalah 5 (y), dimasukkan ke persamaan regresi

$$y = 0,765 x + 3,017$$

$$y - \frac{3,017}{0,765} = x$$

$$5 - \frac{3,017}{0,765} = 2,5921$$

Jadi, Log x = 2,5921

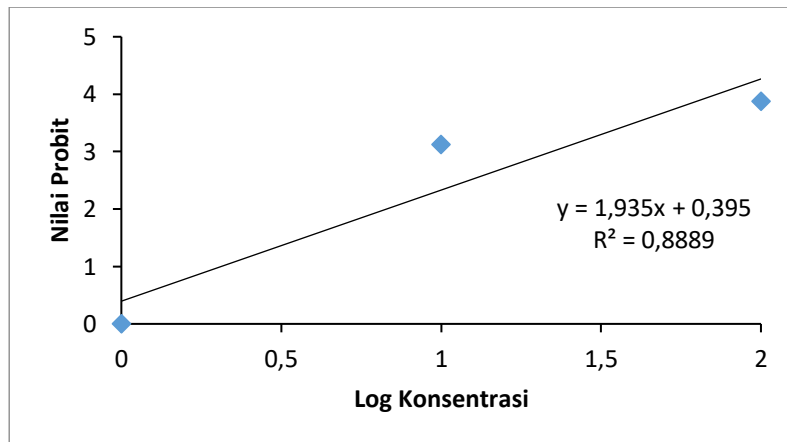
$$x = \text{antilog } 2,5921$$

$$x = 390,930 \text{ ppm}$$

$$\text{LC}_{50} \text{ sampel} = 390,930 \text{ ppm}$$

6.10 Perhitungan nilai LC₅₀ ekstrak etil asetat KPC

Log Konsentrasi (X)	% Kematian	Nilai Probit (Y)
0	0	0
1	3	3,12
2	13	3,87



Untuk LC₅₀ (x), nilai probit adalah 5 (y), dimasukkan ke persamaan regresi

$$y = 1,935 x + 0,395$$

$$y - \frac{0,395}{1,935} = x$$

$$5 - \frac{0,395}{1,935} = 2,3798$$

Jadi, Log x = 2,3798

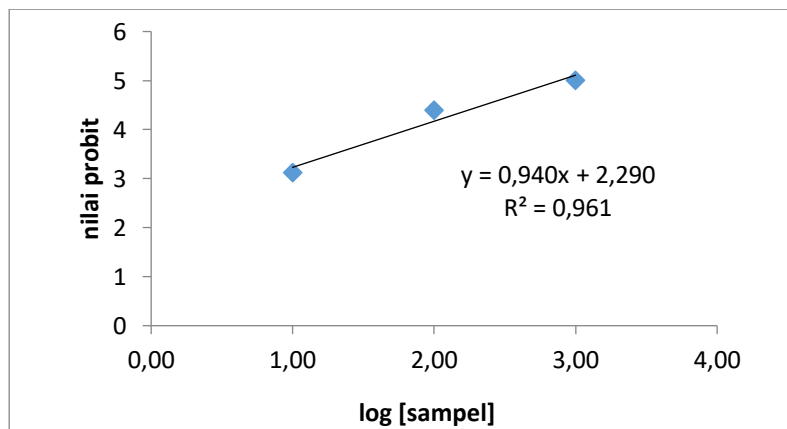
$$x = \text{antilog } 2,3798$$

$$x = 239,798 \text{ ppm}$$

$$\mathbf{LC_{50} sampel = 239,798 ppm}$$

6.11 Perhitungan nilai LC₅₀ ekstrak aseton KPC

Log Konsentrasi (X)	% Kematian	Nilai Probit (Y)
1	3	3,12
2	27	4,39
3	50	5,00



Untuk LC₅₀ (x), nilai probit adalah 5 (y), dimasukkan ke persamaan regresi

$$y = 0,940 x + 2,290$$

$$y - \frac{2,290}{0,940} = x$$

$$5 - \frac{2,290}{0,940} = 2,8829$$

Jadi, Log x = 2,8829

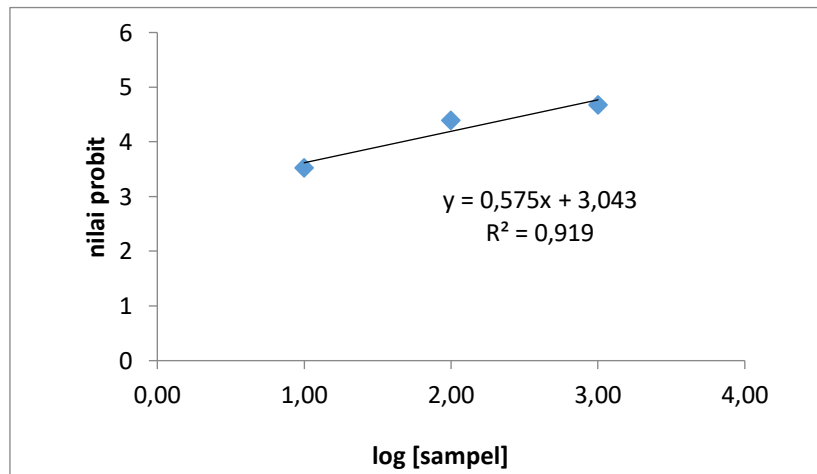
$$x = \text{antilog } 2,8829$$

$$x = 763,659 \text{ ppm}$$

$$\text{LC}_{50} \text{ sampel} = 763,659 \text{ ppm}$$

6.12 Perhitungan nilai LC₅₀ ekstrak metanol KPC

Log Konsentrasi (X)	% Kematian	Nilai Probit (Y)
1	7	3,52
2	27	4,39
3	37	4,67



Untuk LC₅₀ (x), nilai probit adalah 5 (y), dimasukkan ke persamaan regresi

$$y = 0,575 x + 3,043$$

$$y - \frac{3,043}{0,575} = x$$

$$5 - \frac{3,043}{0,575} = 3,404378$$

Jadi, Log x = 3,404378

$$x = \text{antilog } 3,404378$$

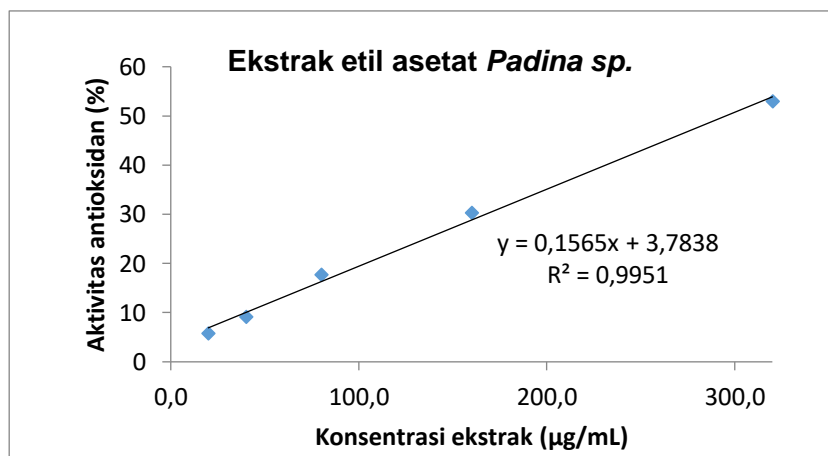
$$x = 2532,084 \text{ ppm}$$

$$\mathbf{LC_{50} sampel = 2532,084 ppm}$$

Lampiran 7. Perhitungan aktivitas antioksidan dengan metode DPPH

7.1 Aktivitas antioksidan ekstrak etil asetat *Padina sp.*

No	Konsentrasi ($\mu\text{g/mL}$)	Absorbansi (A)	Aktivitas
		$\lambda = 516 \text{ nm}$	Antioksidan (%)
1	20	0,705	12,639
2	40	0,655	18,835
3	80	0,565	29,988
4	160	0,360	55,390
5	320	-0,017	102,107
6	kontrol	0,807	-



$$y = 0,2989x + 6,7276$$

$$50 = 0,2989(\text{IC}_{50}) + 6,7276$$

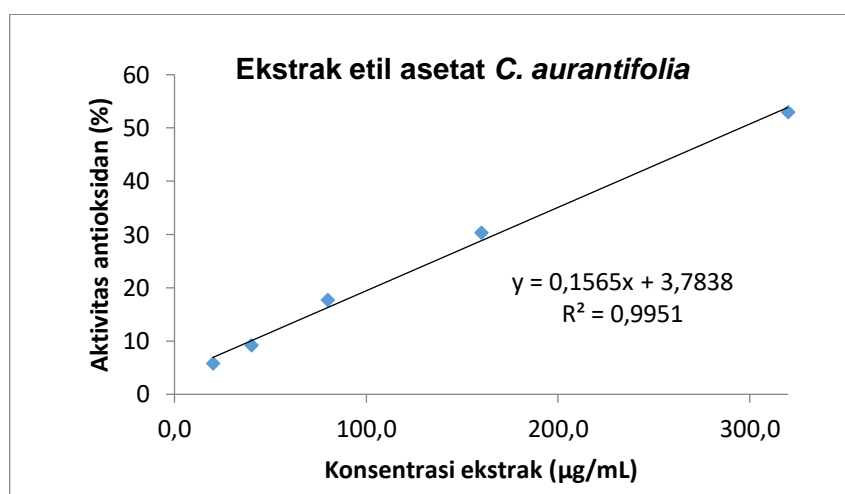
$$\text{IC}_{50} = \frac{50 - 6,7276}{0,2989}$$

$$\text{IC}_{50} = 144,77 \mu\text{g/mL}$$

Nilai IC_{50} sampel 144,77 $\mu\text{g/mL}$

7.2 Aktivitas antioksidan ekstrak etil asetat *C. aurantifolia*

No	Konsentrasi ($\mu\text{g/mL}$)	Absorbansi (A) $\lambda = 516 \text{ nm}$	Aktivitas Antioksidan (%)
1	20	0,749	5,786
2	40	0,722	9,182
3	80	0,654	17,736
4	160	0,554	30,314
5	320	0,374	52,956
6	kontrol	0,795	-



$$y = 0,1565x + 3,7841$$

$$50 = 0,1565 (\text{IC}_{50}) + 3,7841$$

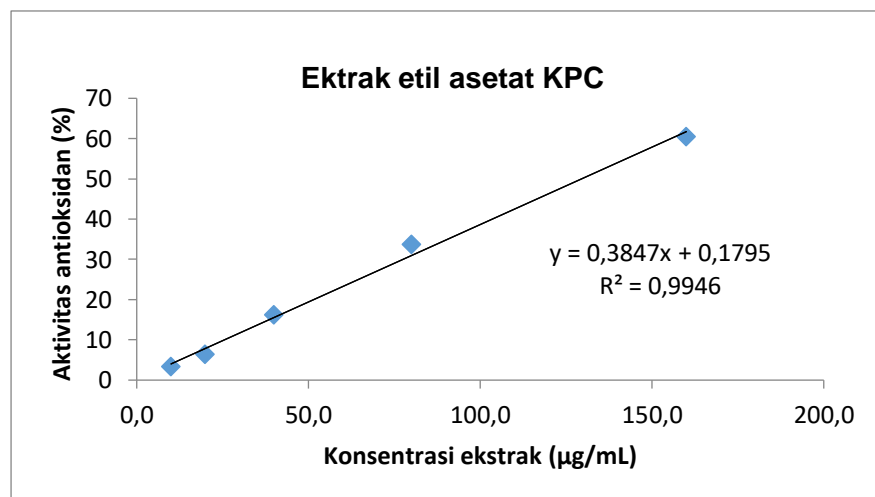
$$\text{IC}_{50} = \frac{50 - 3,7841}{0,1565}$$

$$\text{IC}_{50} = 295,31 \mu\text{g/mL}$$

Nilai IC_{50} sampel 295,31 $\mu\text{g/mL}$

7.3 Aktivitas antioksidan ekstrak etil KPC

No	Konsentrasi ($\mu\text{g/mL}$)	Absorbansi (A) $\lambda = 515 \text{ nm}$	Aktivitas Antioksidan (%)
1	10,0	0,979	1,90
2	20	0,917	8,12
3	40	0,844	15,43
4	80	0,661	33,77
5	160	0,393	60,62
6	kontrol	0,998	-



$$y = 0,3847x + 0,1795$$

$$50 = 0,3847 (\text{IC}_{50}) + 0,1795$$

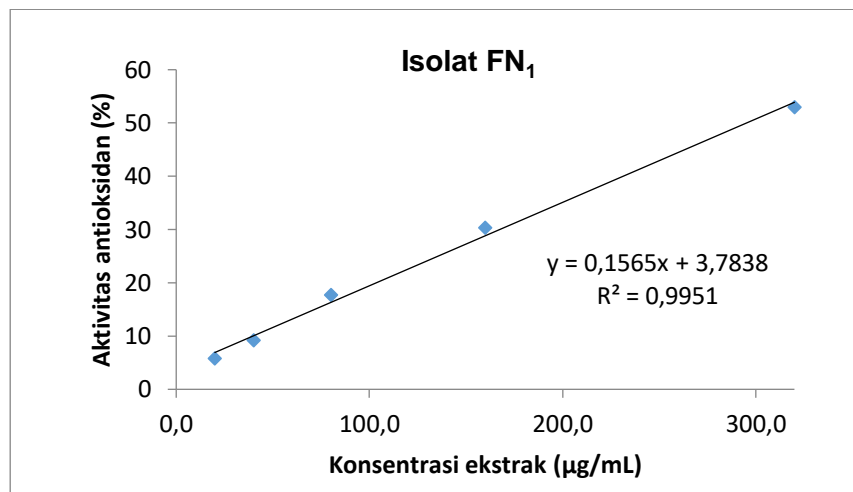
$$\text{IC}_{50} = \frac{50 - 0,3847}{0,1795}$$

$$\text{IC}_{50} = 128,60 \mu\text{g/mL}$$

Nilai IC_{50} sampel 128,60 $\mu\text{g/mL}$

7.4 Aktivitas antioksidan isolat FN₁

No	Konsentrasi ($\mu\text{g/mL}$)	Absorbansi (A) $\lambda = 515 \text{ nm}$	Aktivitas Antioksidan (%)
1	20	0,925	4,05
2	40	0,914	5,19
3	80	0,879	8,82
4	160	0,843	12,55
5	320	0,772	19,92
6	kontrol	0,964	-



$$y = 0,0523x + 3,6221$$

$$50 = 0,0523 (\text{IC}_{50}) + 3,6221$$

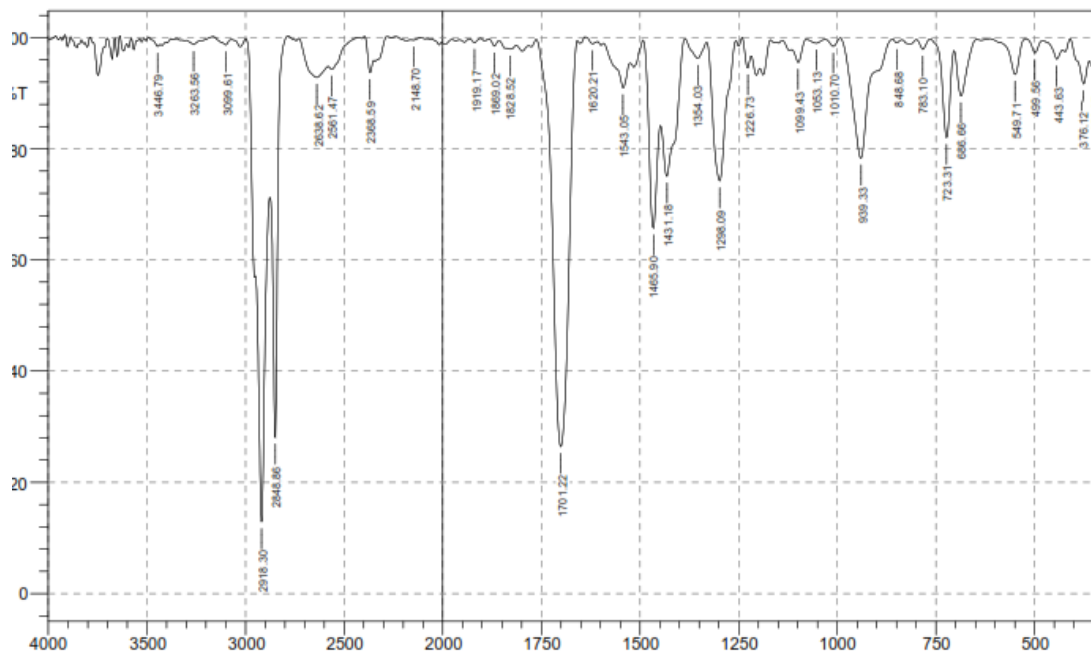
$$\text{IC}_{50} = \frac{50 - 0,0523}{3,6221}$$

$$\text{IC}_{50} = 886,76 \mu\text{g/mL}$$

Nilai IC₅₀ sampel 886,76 $\mu\text{g/mL}$

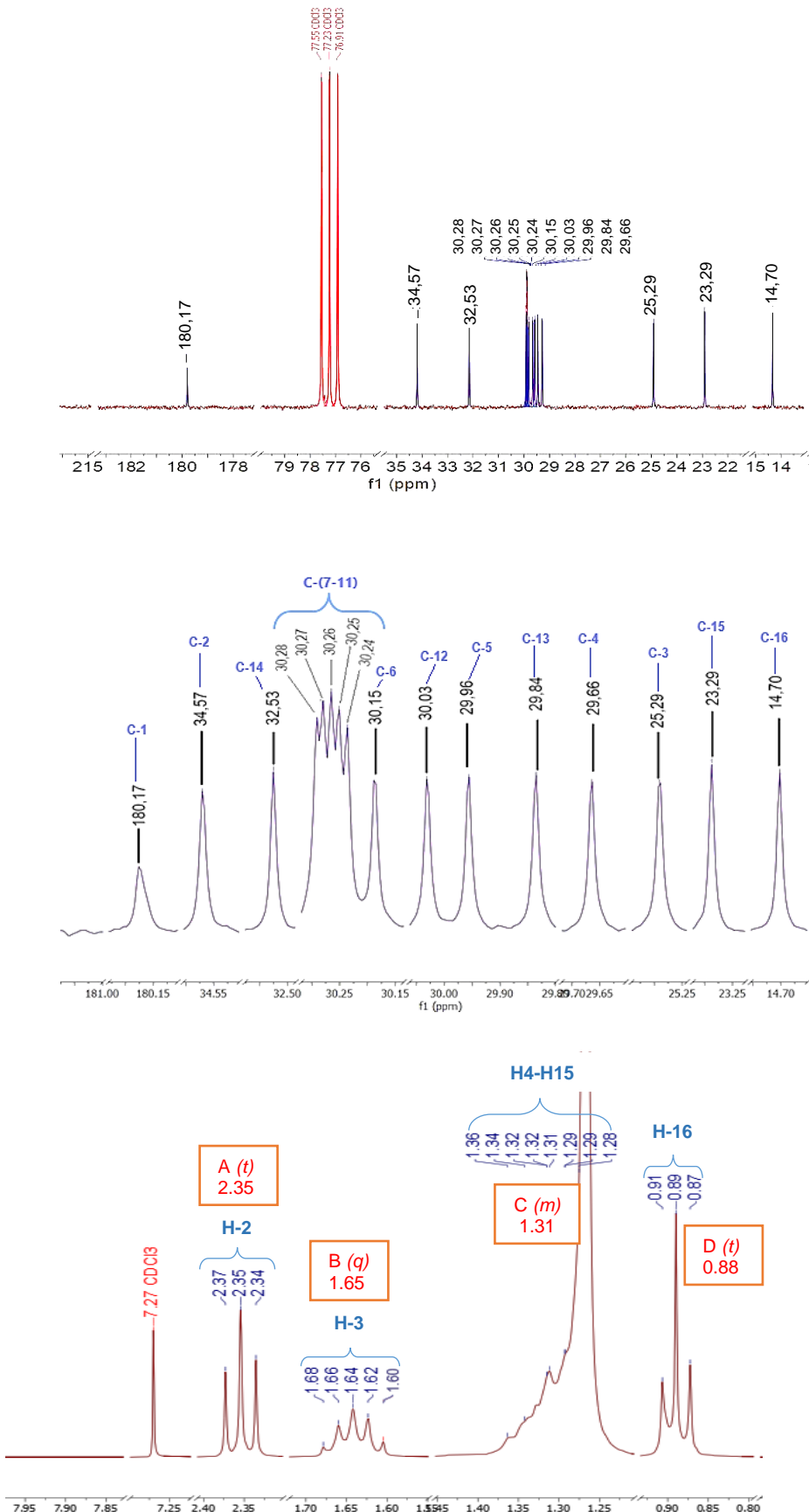
Lampiran 8. Spektrum FT-IR Isolat FN₁

 SHIMADZU



No.	Peak	Intensity	Corr. Intensity	Base (H)	Base (L)	Area	Corr. Area
1	352.97	94.809	2.703	360.69	341.4	0.315	0.14
2	376.12	91.686	5.242	408.91	362.62	1.025	0.55
3	443.63	96.15	2.144	478.35	428.2	0.456	0.152
4	499.56	97.27	2.312	522.71	482.2	0.242	0.174
5	549.71	93.39	6.422	613.36	522.71	0.876	0.802
6	686.66	89.515	8.786	704.02	648.08	1.337	1.024
7	723.31	82.002	16.081	763.81	705.95	1.91	1.531
8	783.1	97.891	1.791	798.53	765.74	0.167	0.122
9	848.68	99.081	0.583	858.32	837.11	0.061	0.03
10	939.33	78.329	21.532	991.41	860.25	5.116	5.02
11	1010.7	98.421	1.406	1029.99	991.41	0.142	0.113
12	1053.13	98.992	0.697	1076.28	1029.99	0.136	0.073
13	1099.43	95.549	3.105	1114.86	1080.14	0.42	0.231
14	1226.73	94.575	3.209	1242.16	1219.01	0.337	0.166
15	1298.09	74.215	25.072	1330.88	1257.59	4.596	4.375
16	1354.03	96.264	3.138	1384.89	1330.88	0.551	0.42
17	1431.18	75.105	12.949	1446.61	1386.82	4.536	2.316
18	1465.9	65.721	24.665	1490.97	1448.54	4.368	2.653
19	1543.05	90.978	5.381	1591.27	1525.69	1.584	0.752
20	1620.21	98.893	0.741	1639.49	1606.7	0.088	0.046
21	1701.22	26.411	73.008	1762.94	1660.71	21.738	21.496
22	1828.52	97.924	0.414	1840.09	1815.02	0.209	0.028
23	1869.02	98.474	1.11	1884.45	1857.45	0.101	0.055
24	1919.17	99.123	0.692	1932.67	1903.74	0.063	0.04
25	2148.7	99.558	0.145	2164.13	2108.2	0.066	0.013
26	2368.59	93.715	3.88	2395.59	2351.23	0.737	0.356
27	2561.47	94.325	1.168	2580.76	2436.09	1.716	0.236
28	2638.62	92.833	3.938	2727.35	2582.68	3.452	1.717
29	2848.86	28.162	51.73	2875.86	2785.21	13.462	8.046
30	2918.3	12.915	50.291	2949.16	2877.79	30.046	16.197
31	3099.61	98.694	1.119	3165.19	3070.68	0.259	0.225
32	3263.56	98.741	0.757	3300.2	3224.98	0.27	0.106
33	3446.79	98.431	0.655	3491.16	3431.36	0.215	0.061

Lampiran 9. Spektrum $^1\text{H-NMR}$ dan $^{13}\text{C-NMR}$ Isolat FN₁



Lampiran 10. Hasil Pengujian antikanker terhadap sel MCF-7

10.1 Gambar Layout Plate

PLATE 1	1	2	3	4	5	6	7	8	9	10	11	12
A												
B												
C												
D												
E												
F												
G												
H												

Keterangan:

Media	Sampel -1
Media + sel	Sampel -2
Kontrol Positif	Sampel -3
Kontrol Negatif: Pelarut	Sampel -4

10.2 Hasil Uji Antipoliferasi

Sampel	IC ₅₀ (µg/mL)
Isolat FN ₁	>1.000

10.3 Absorbansi Hasil isolat FN₁ terhadap sel MCF-7

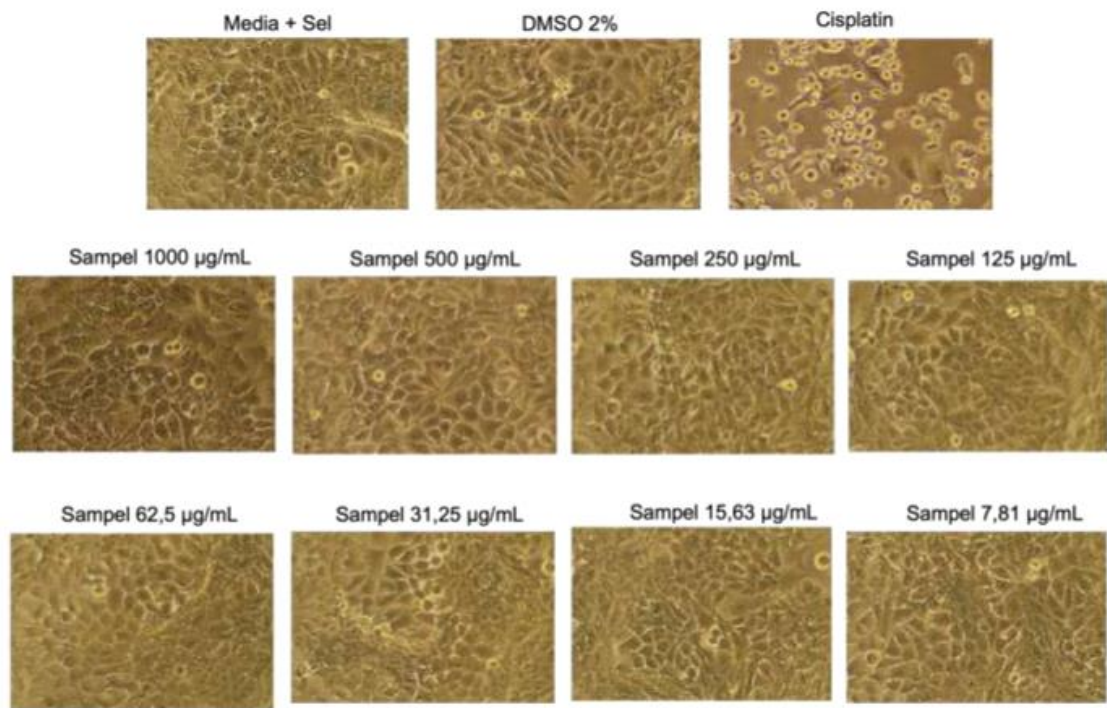
	Media	Media + Sel	Cisplatin	Pelorut	Konsentrasi Sampel (µg/mL)							
					7,81	15,63	31,25	62,50	125,00	250,00	500,00	1000,00
Absorbansi 570nm	0,4882	0,7953	0,6384	0,8006	0,8001	0,8019	0,7751	0,7735	0,7968	0,7880	0,7948	0,8021
	0,4944	0,7955	0,6482	0,8014	0,7871	0,7815	0,7680	0,7927	0,7845	0,8082	0,8101	0,8236
Absorbansi 600nm	0,6193	0,1983	0,4219	0,2041	0,2082	0,2059	0,2161	0,2140	0,2324	0,4780	0,5910	0,6126
	0,0188	0,2004	0,4536	0,2067	0,2031	0,2015	0,1999	0,1950	0,2010	0,2021	0,2148	0,2373
Selisih Absorbansi	-0,1311	0,5970	0,2103	0,3905	0,3919	0,3900	0,3590	0,3595	0,5644	0,3100	0,2038	0,1895
	-0,1244	0,5951	0,1946	0,3947	0,3840	0,3800	0,3681	0,3977	0,3835	0,0061	0,3953	0,3863
% Sel hidup		100,19	47,59	100,12	99,49	100,06	94,94	95,01	95,09	60,52	45,84	43,86
		99,93	44,56	99,88	98,40	97,84	96,20	100,29	98,33	101,45	99,96	98,71
Rata-rata % sel hidup		100,06	46,08	100,00	98,94	98,95	95,37	97,65	97,01	80,98	72,90	71,29
SEM		0,13	1,31	0,12	0,35	1,11	0,63	2,04	1,32	20,47	27,06	27,43
Normalisasi data % Sel hidup		100,06	46,08	100,00	98,94	98,95	95,37	97,65	97,01	80,98	72,90	71,29

Keterangan: Konsentrasi cisplatin yang digunakan dalam uji sebesar 53 µM.

10.4 Well Plate hasil pengujian isolat FN₁ terhadap sel MCF-7

Media	Media +Sel	Cisplatin	Pelarut	Konsentrasi Sampel ($\mu\text{g/mL}$)							
				7,81	15,63	31,25	62,50	125,00	250,00	500,00	1000,00

10.5 Morfologi sel MCF-7 terhadap hasil uji isolat FN₁



Lampiran 11. Dokumentasi Penelitian



Sampel *Padina sp.*



Sampel *Citrus aurantifolia*



Pengeringan sampel *Padina sp*



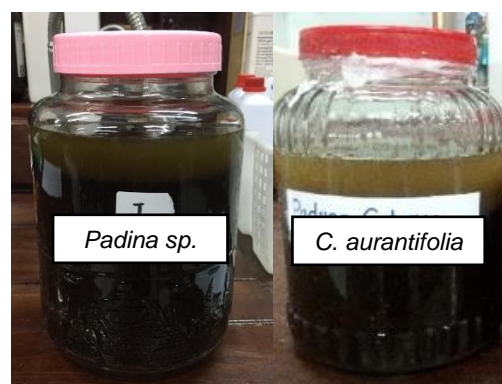
Pengeringan *Citrus aurantifolia*



Serbuk *Padina sp*



Serbuk *C. aurantifolia*



Merasi masing-masing
Sampel



Penyaringan hasil maserasi
Padina sp dan *C. aurantifolia*



Proses Evaporasi



Ekstrak n-heksan
Padina sp



Ekstrak etil asetat
Padina sp



Ekstrak aseton
Padina sp



Ekstrak Metanol
Padina sp



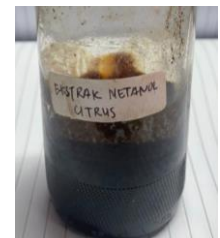
Ekstrak n-heksana
C. aurantifolia



Ekstrak etil asetat
C. aurantifolia



Ekstrak aseton
C. aurantifolia



Ekstrak Metanol
C. aurantifolia

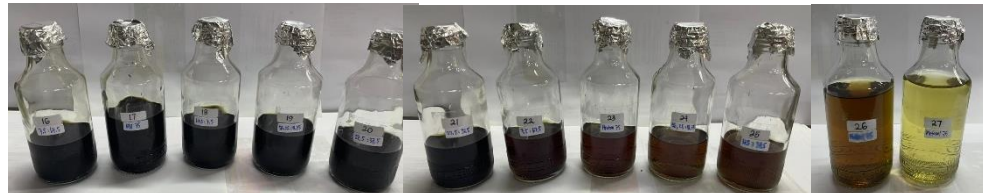


Ekstrak etil *Padina sp* dan
C. aurantifolia digabung (1:1)

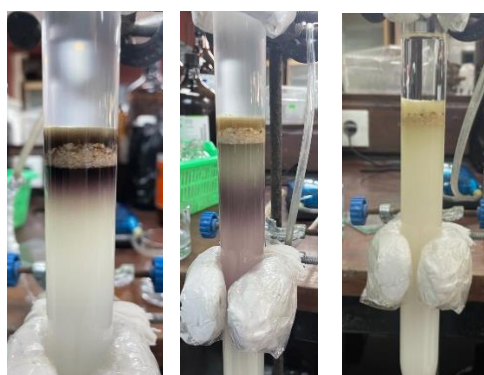


Proses Fraksinasi metode KKV





Fraksi-fraksi hasil KKV



Proses Fraksinasi
Dengan metode KKT



Proses Fraksinasi menggunakan Kromatotron



Hasil analisis KLT Fraksi gabungan kromatotron dengan eluen EtOAc : CHCl₃ :
n-heksana (0,2 : 1,3 : 8,5)



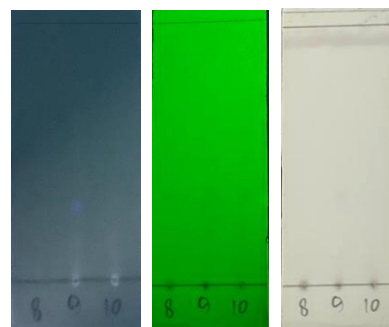
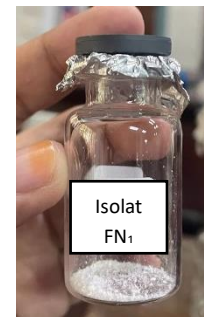
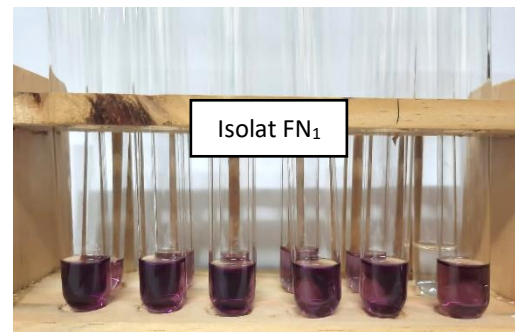
Fraksi gabungan 8



Fraksi gabungan 9



Fraksi gabungan 10

Hasil KLT 3 Fraksi gabungan
dengan eluen CHCl₃ : n-heksana (3 : 7)Isolat FN₁Uji aktivitas antioksidan isolat FN₁ dengan menggunakan metode DPPH

Media	Media +Sel	Cisplatin	Pelarut	Konsentrasi Sampel (μ g/mL)							
				7,81	15,63	31,25	62,50	125,00	250,00	500,00	1000,00

Hasil uji aktivitas antikanker isolat FN₁ terhadap sel MCF-7 pada Well Plate